

FIG. 1

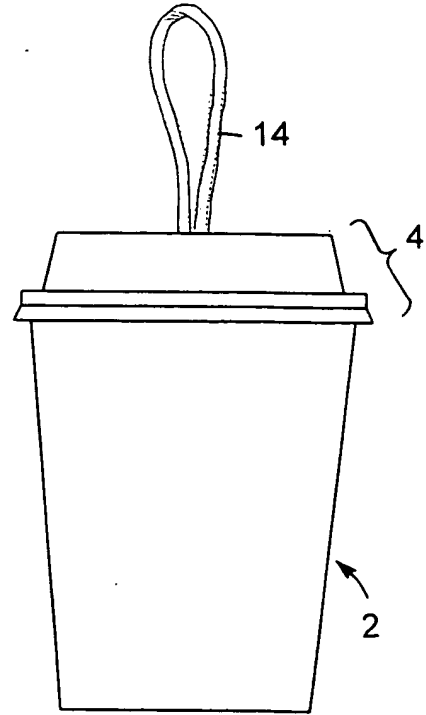


FIG. 2

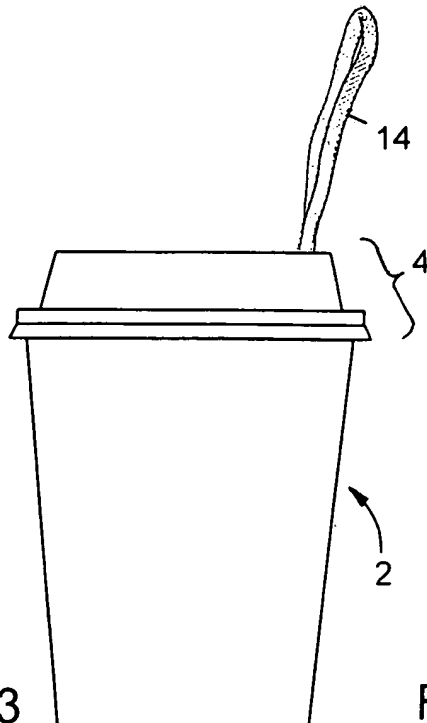


FIG. 3

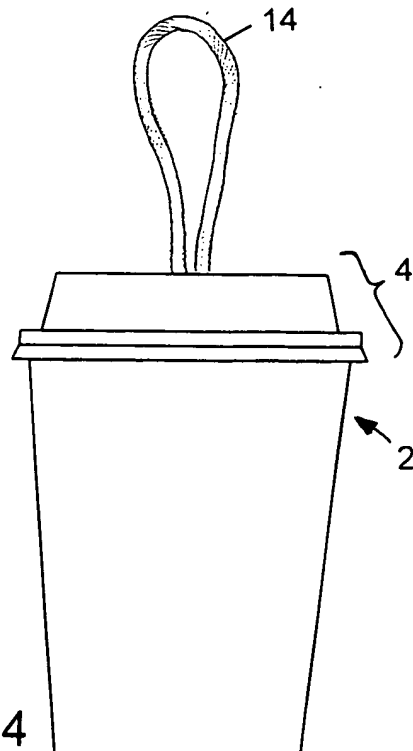


FIG. 4

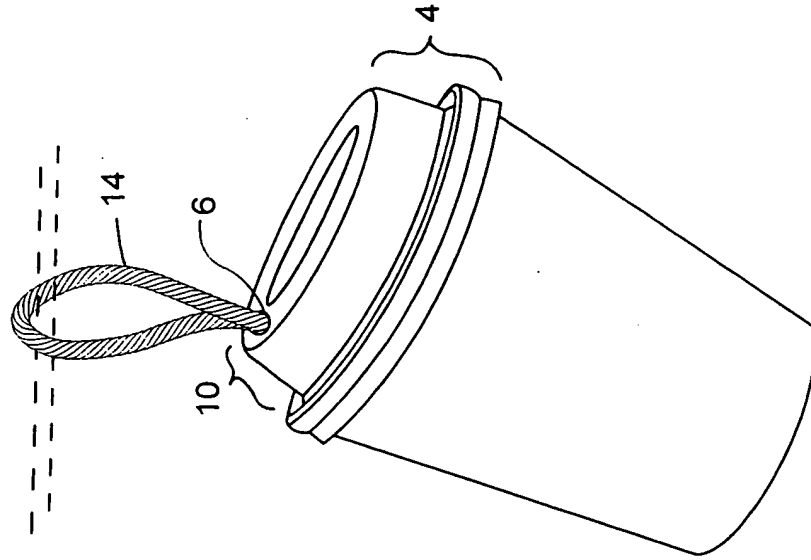


FIG. 7

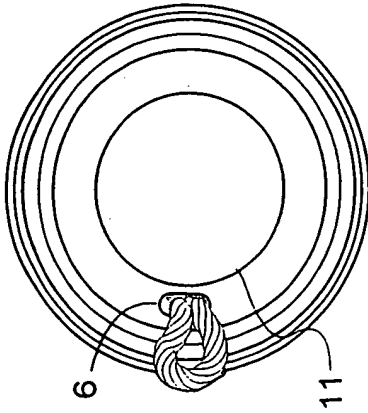


FIG. 5

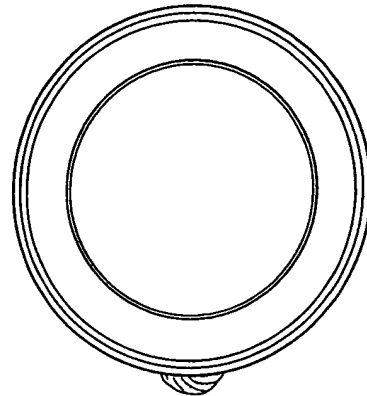


FIG. 6

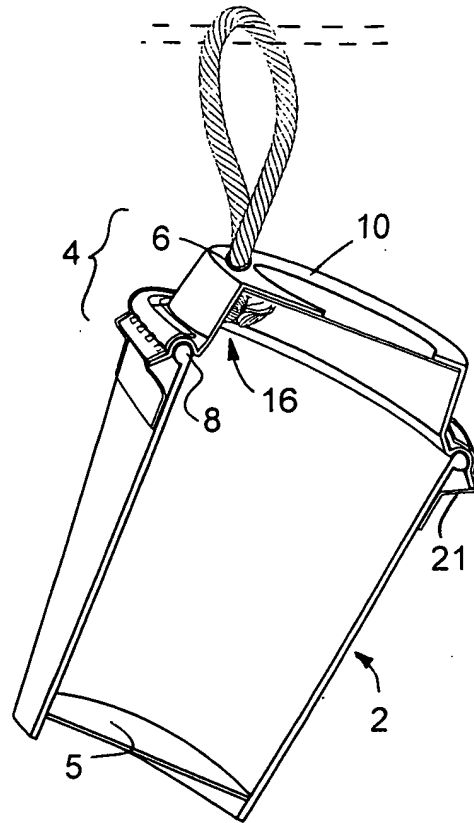


FIG. 8

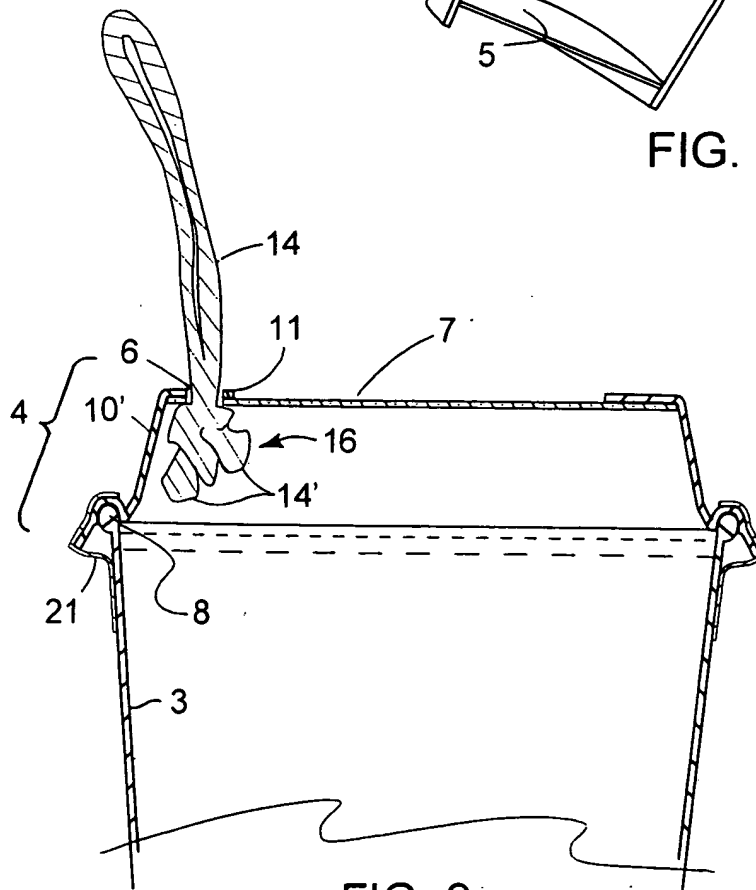
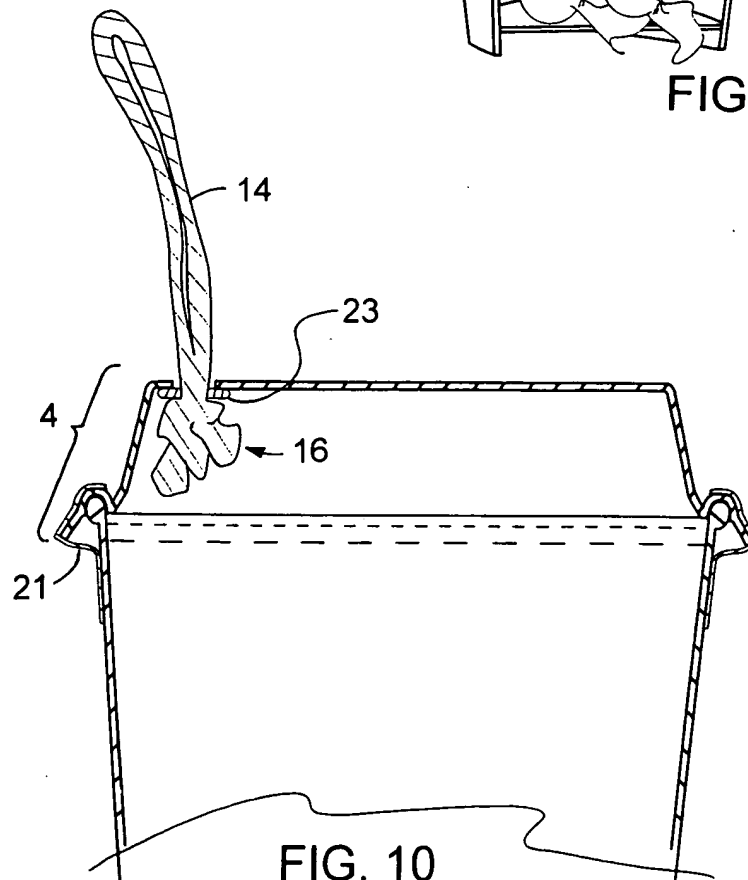
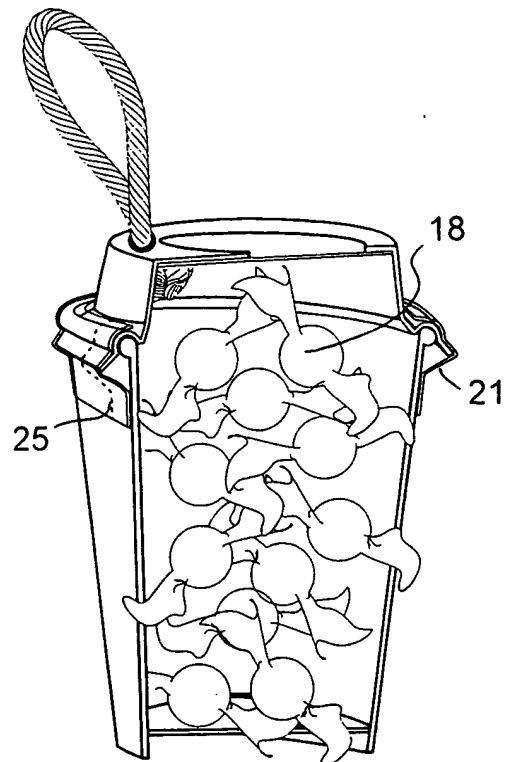


FIG. 9

Appln No.: 10'052,210
Applicant(s): Jeffrey T. Mainich et al.
SUSPENDED CONTAINERS



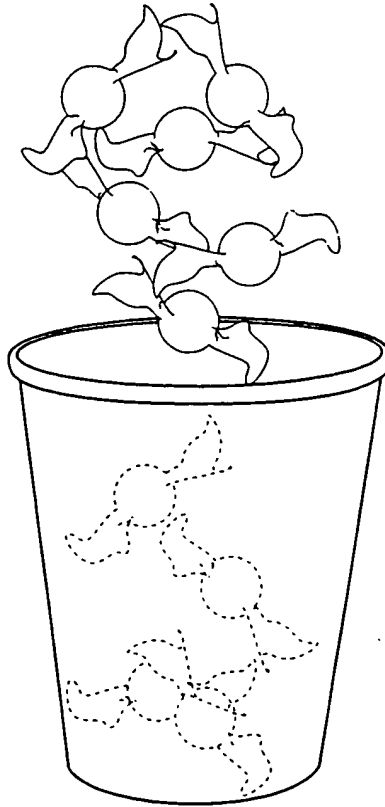


FIG. 12

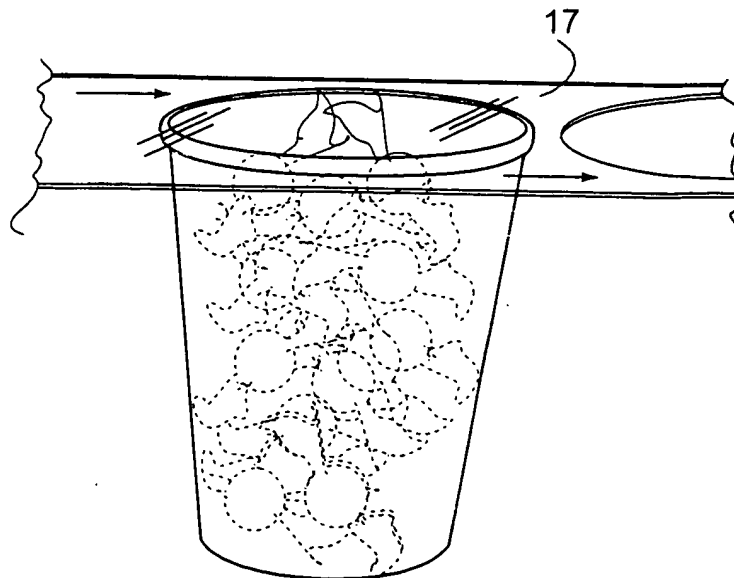


FIG. 12A

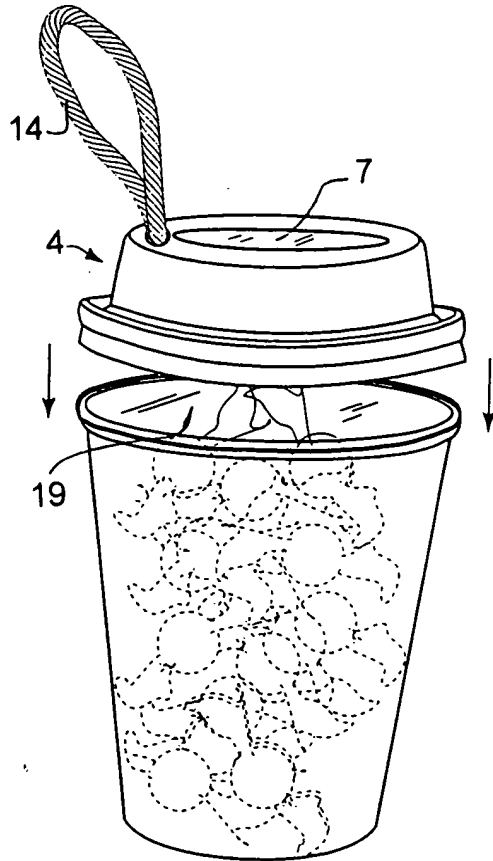


FIG. 12B

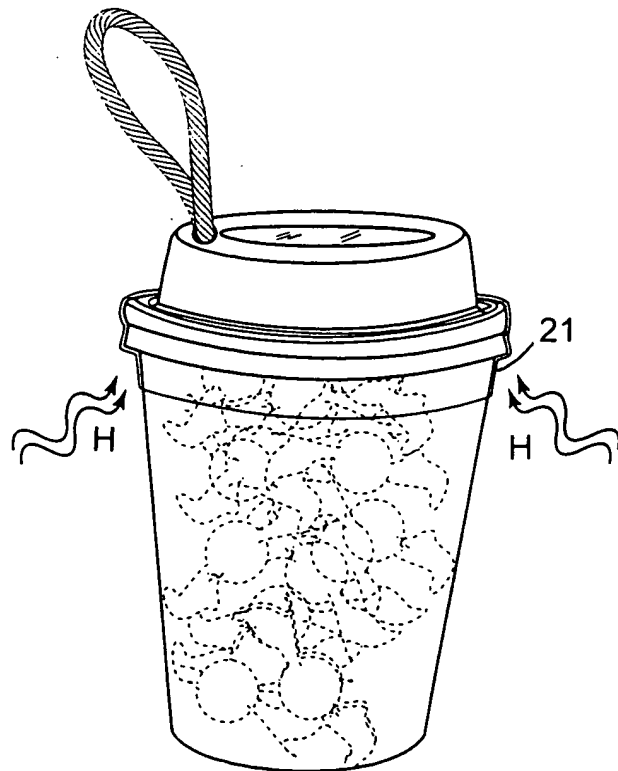


FIG. 12C

No.: 10/052,210
Applicant(s): Jeffrey T. Mannion et al.
SUSPENDED CONTAINERS

Page 1 of 47

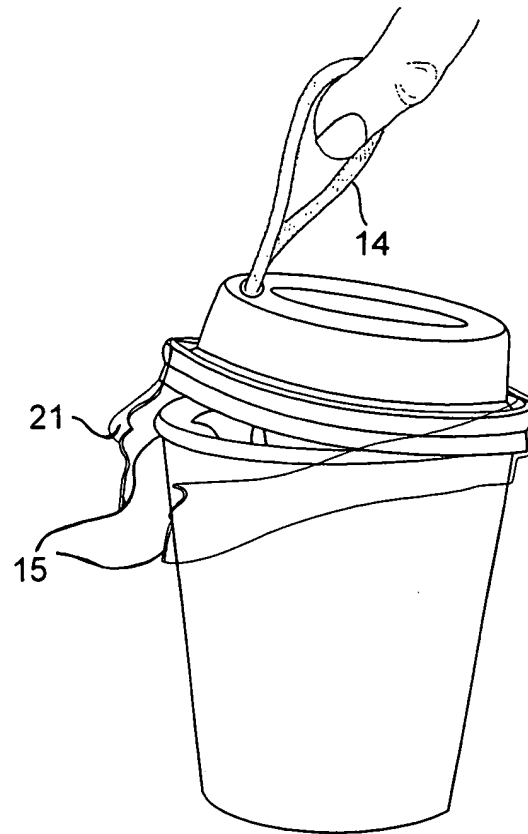


FIG. 12D

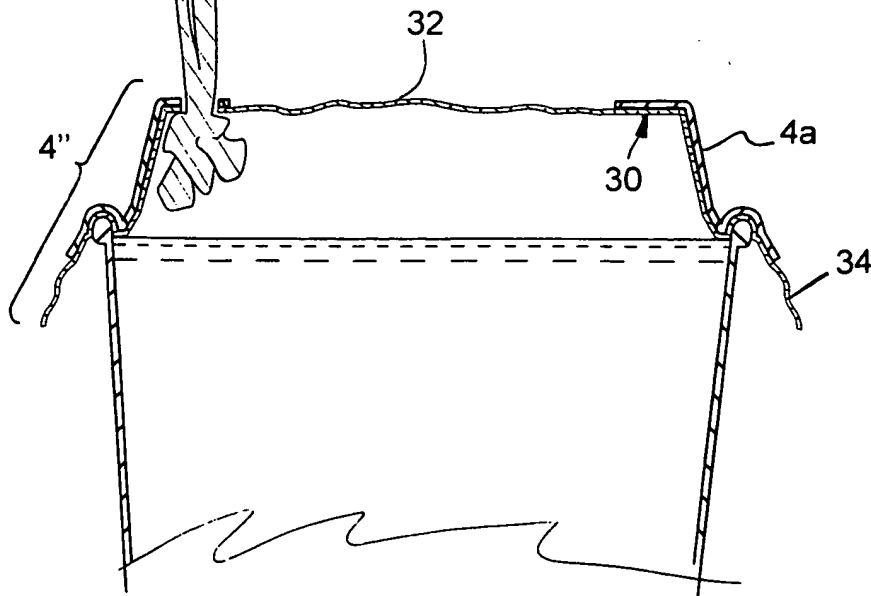


FIG. 13



FIG. 13B

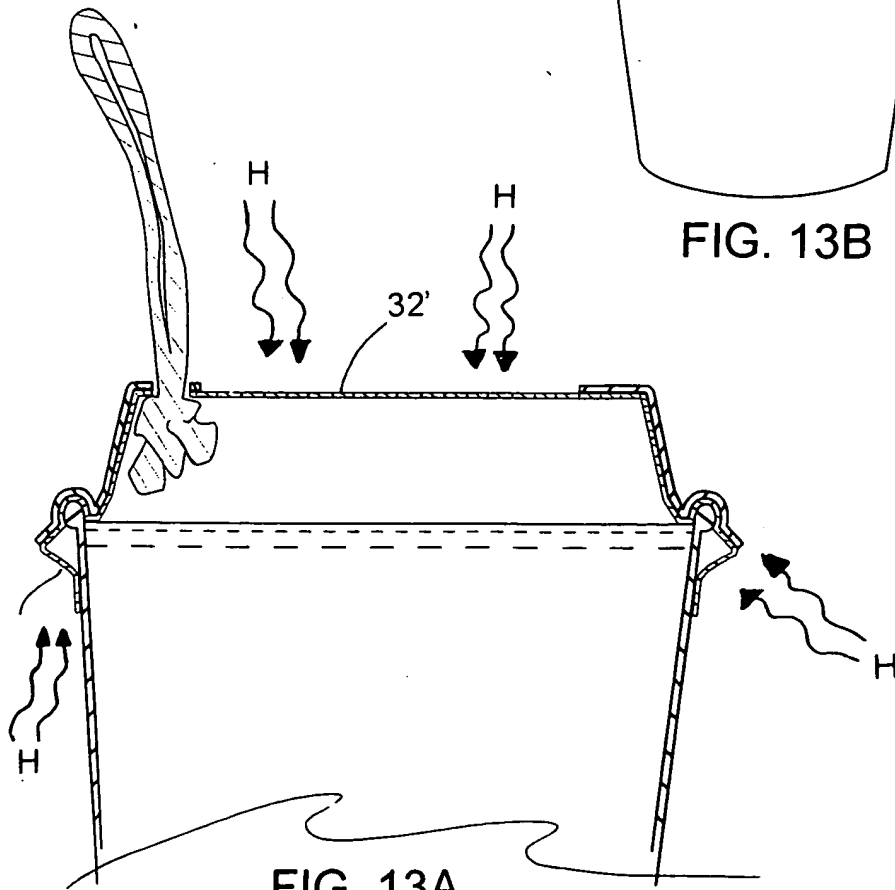


FIG. 13A

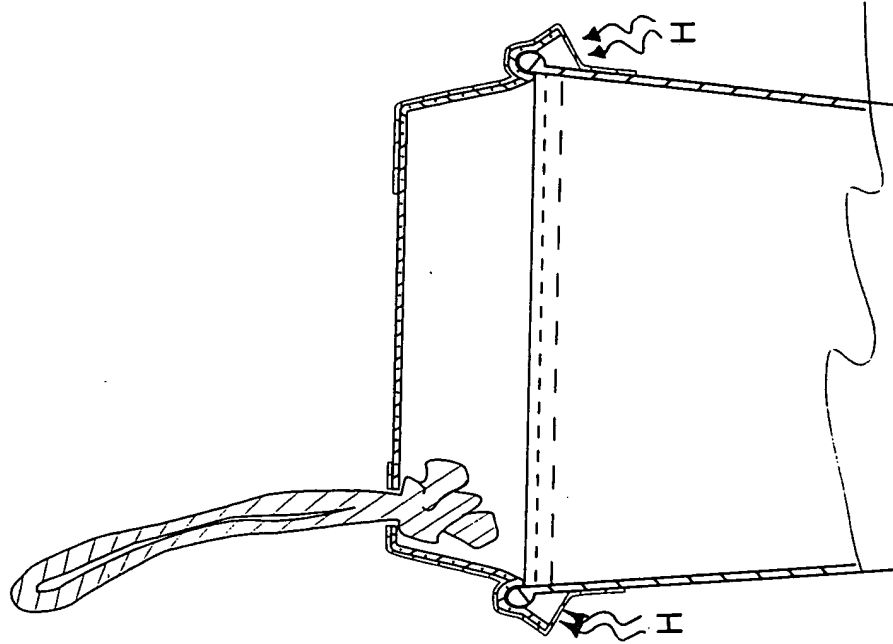


FIG. 14A

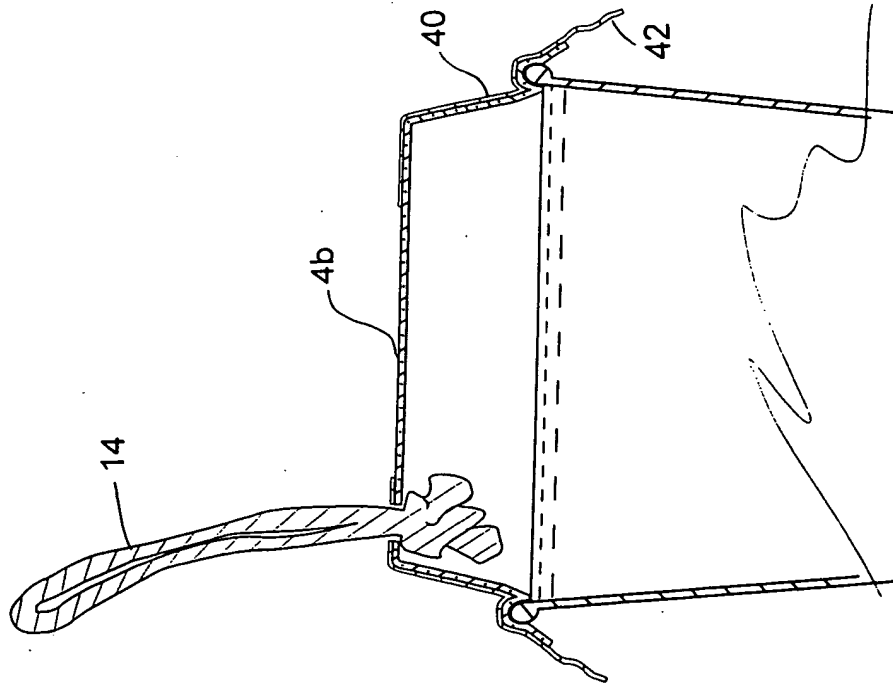


FIG. 14

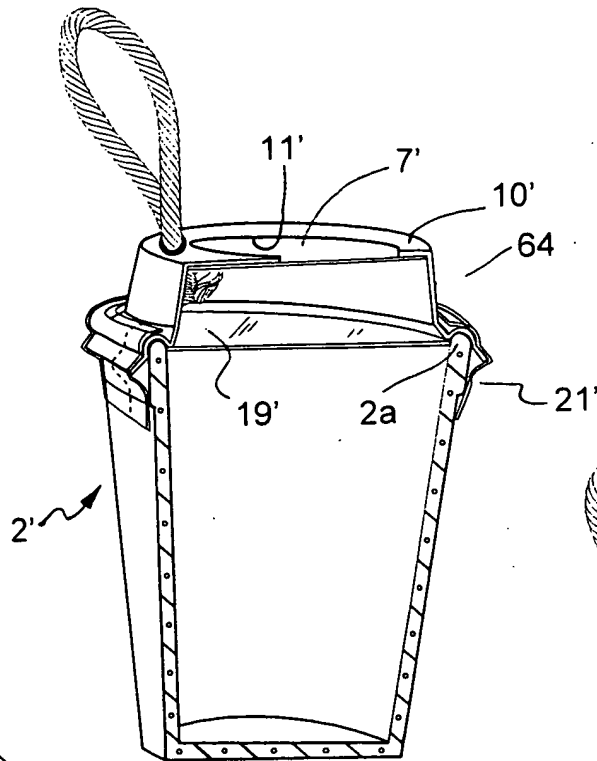


FIG. 14C

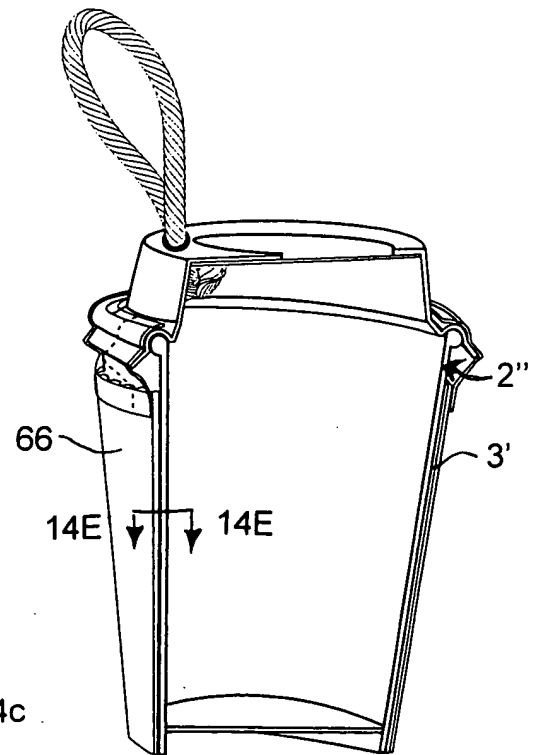


FIG. 14D

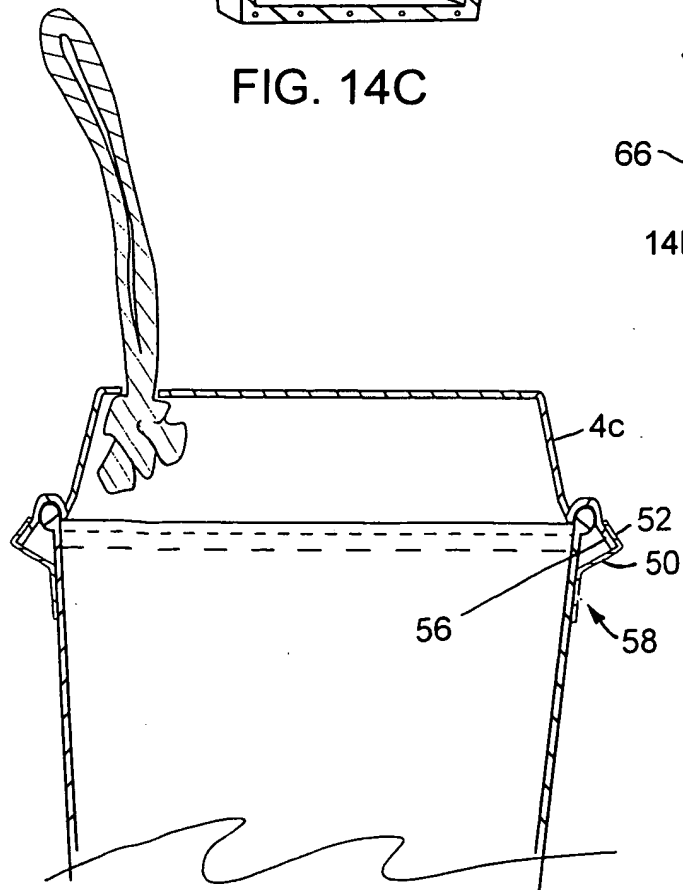


FIG. 14B

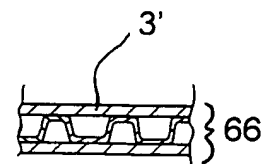


FIG. 14E

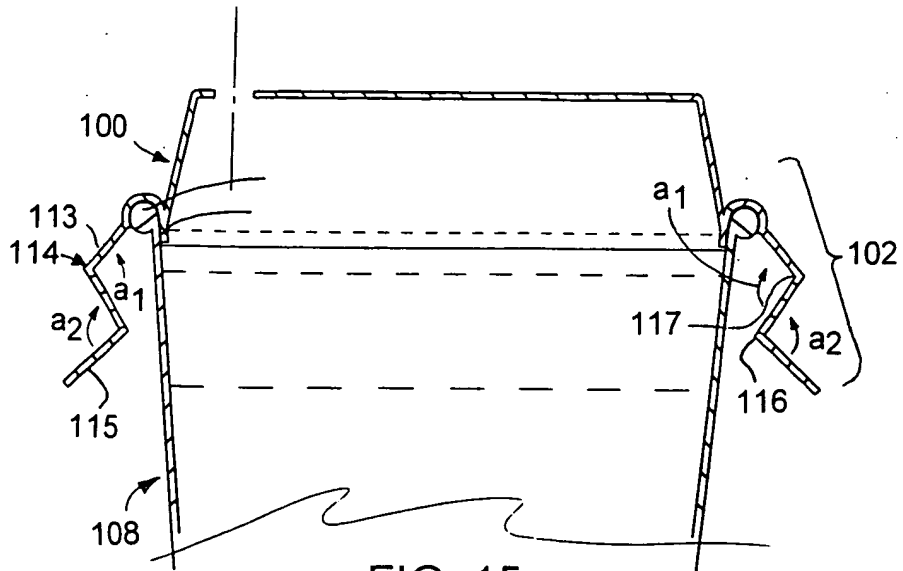


FIG. 15

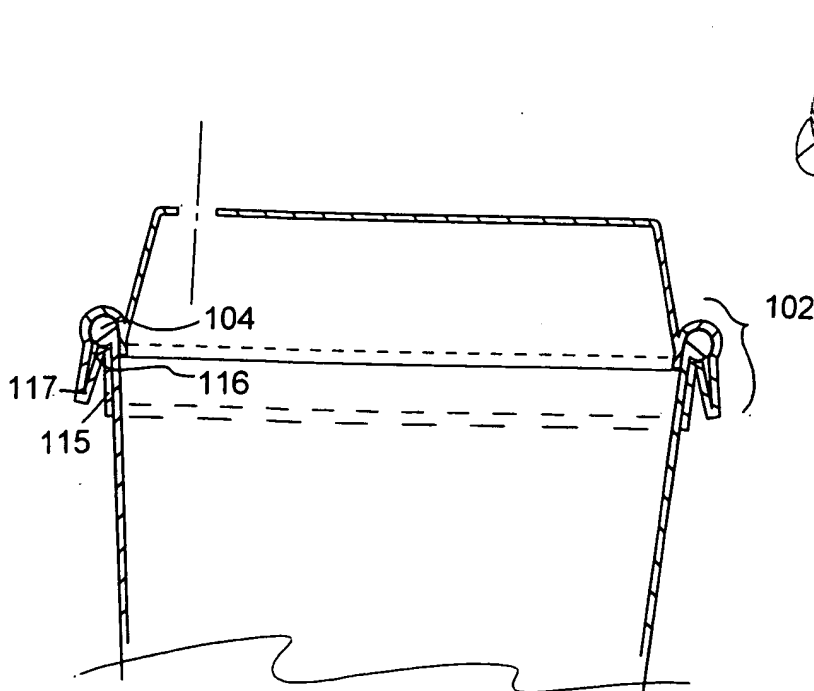


FIG. 15A

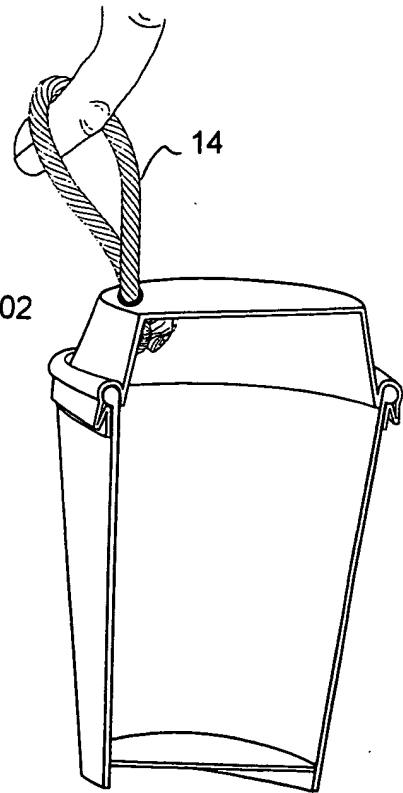
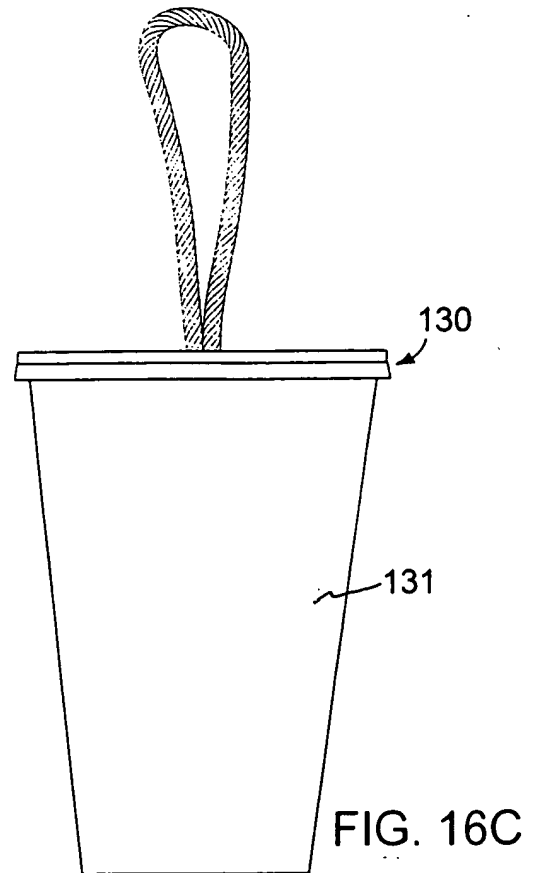
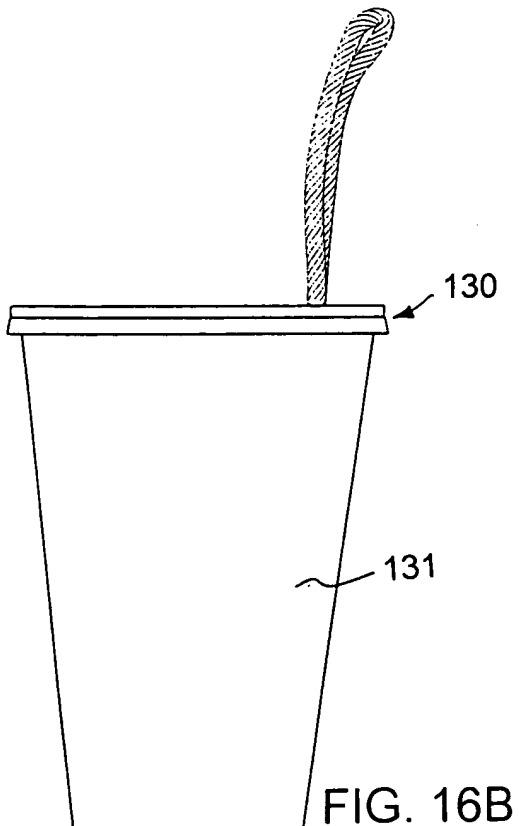
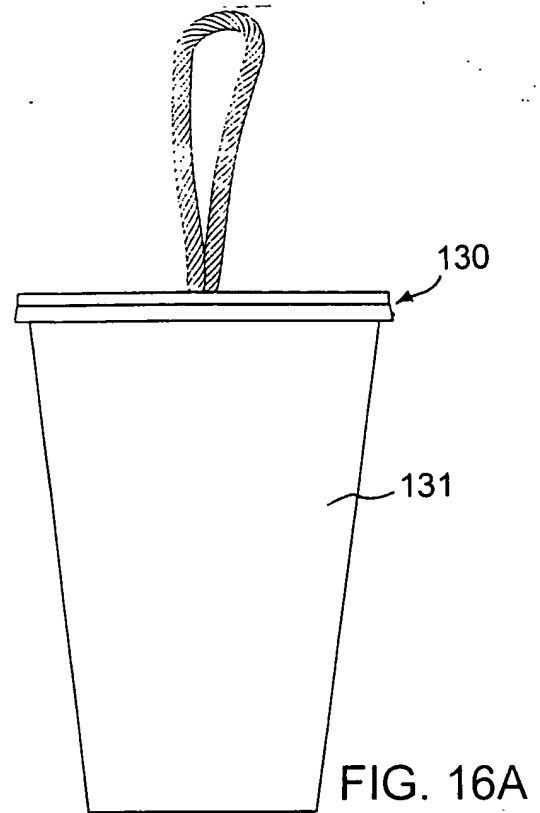
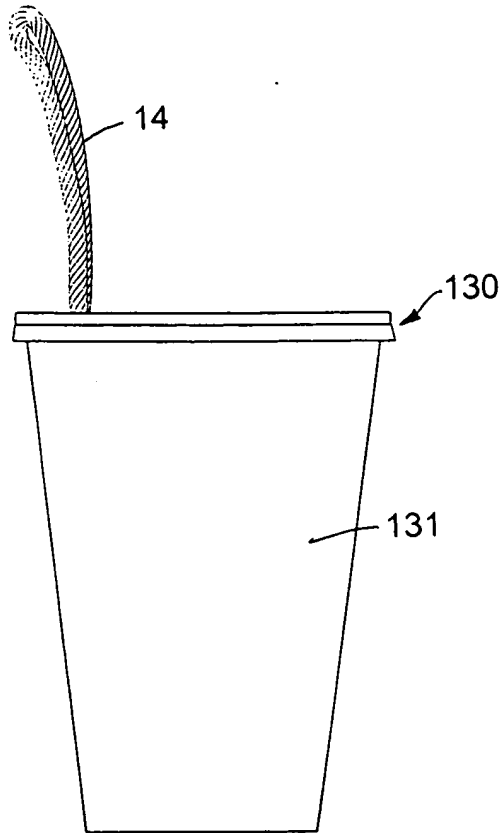


FIG. 15B



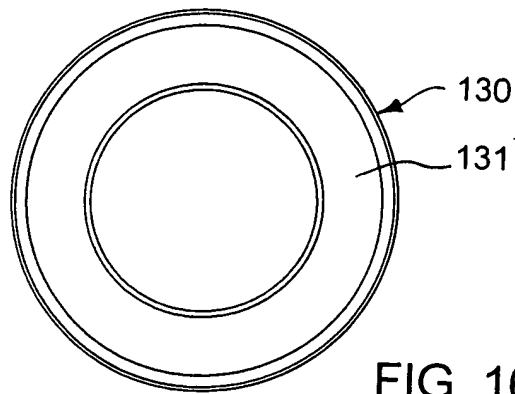


FIG. 16E

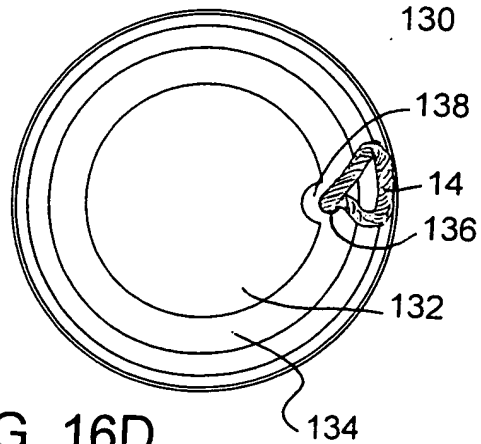
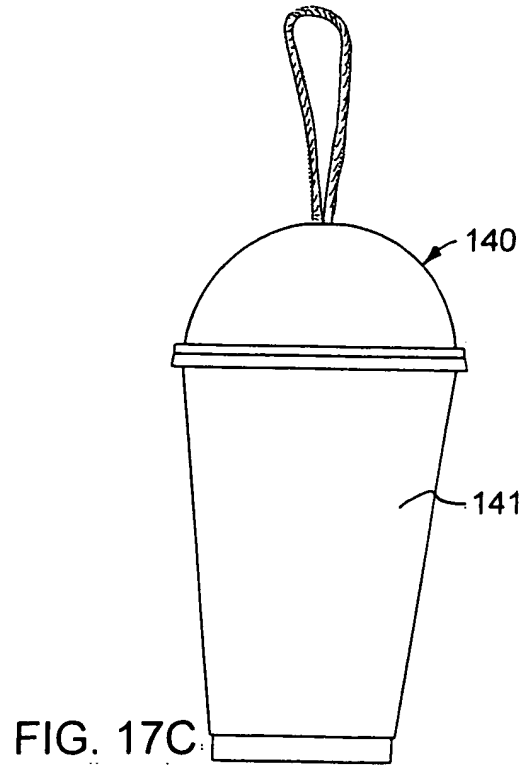
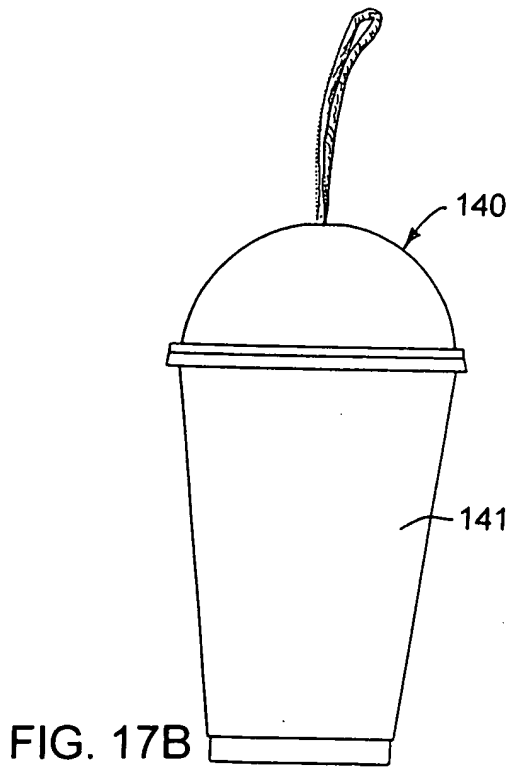
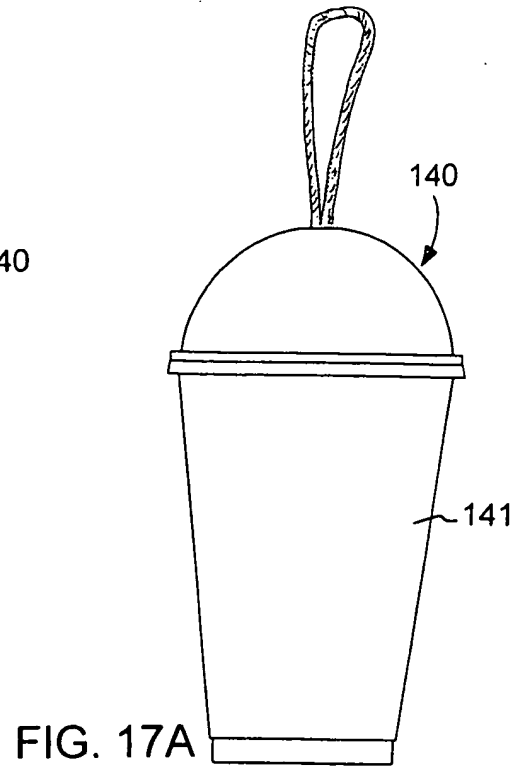
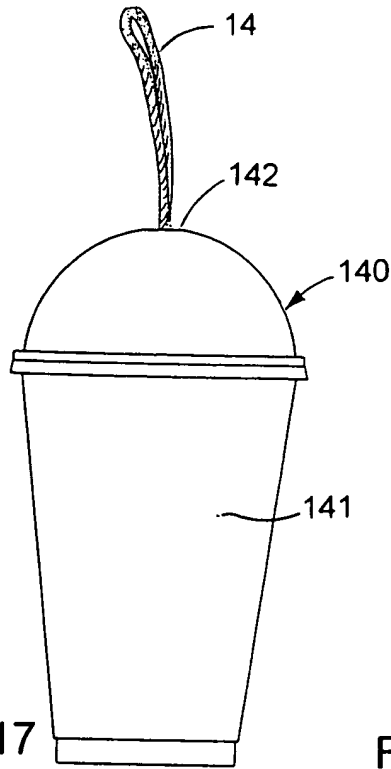


FIG. 16D



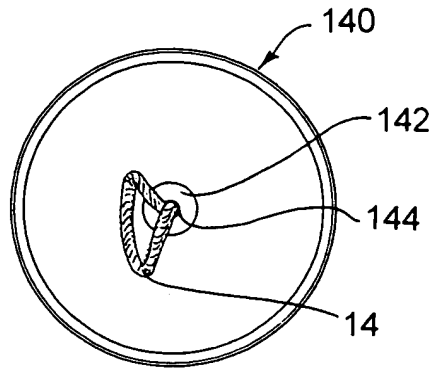


FIG. 17D

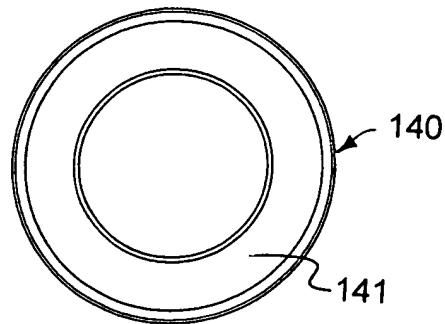
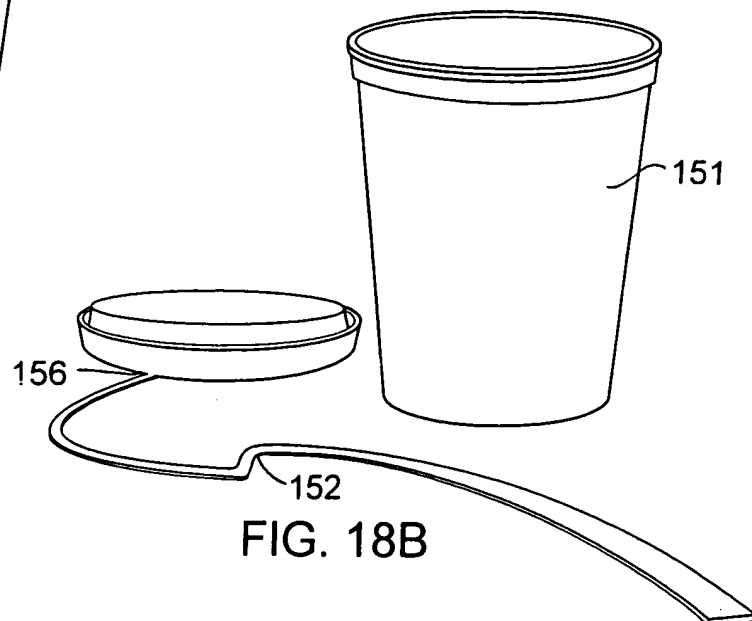
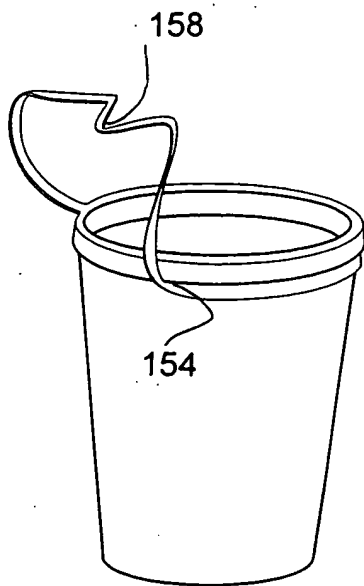
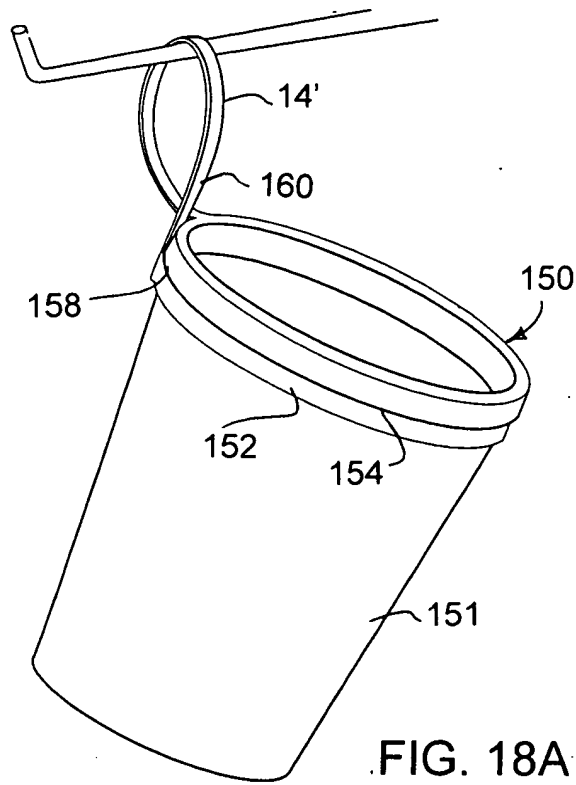


FIG. 17E



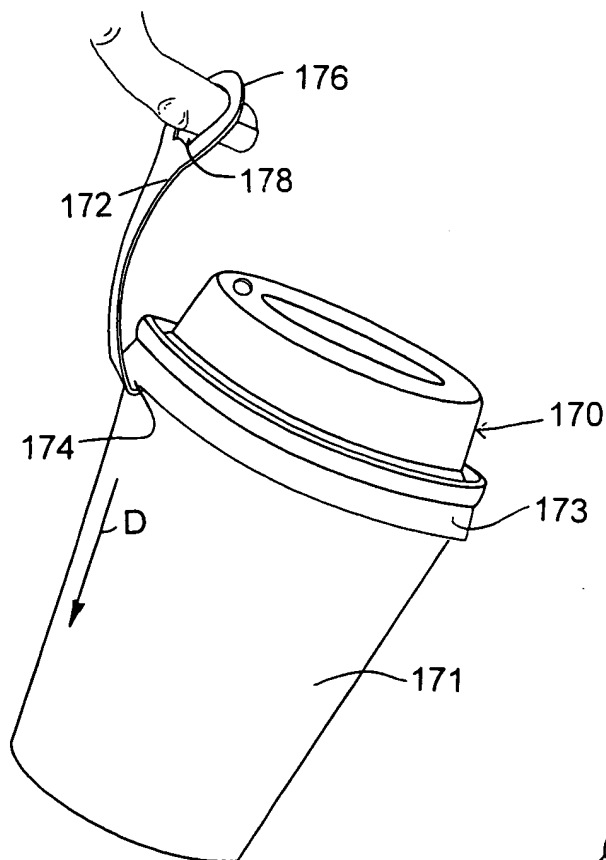


FIG. 19

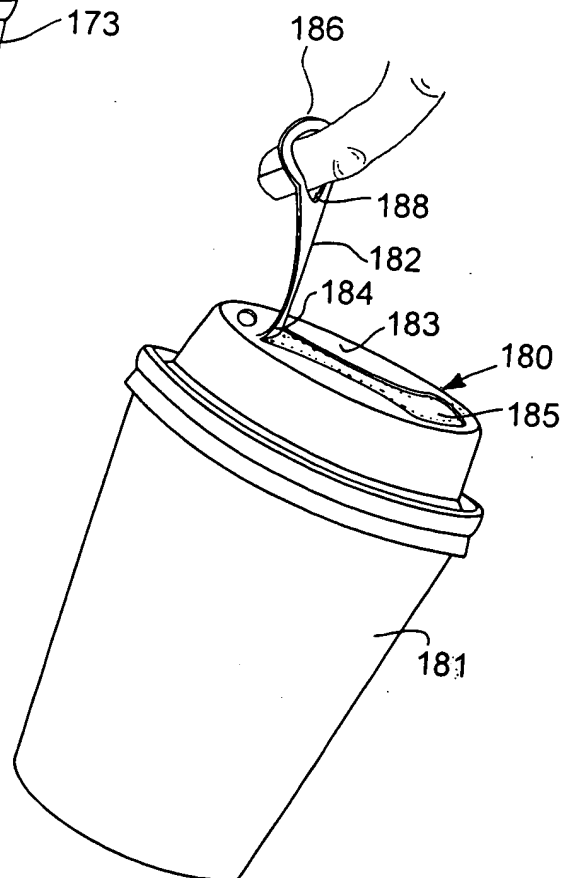
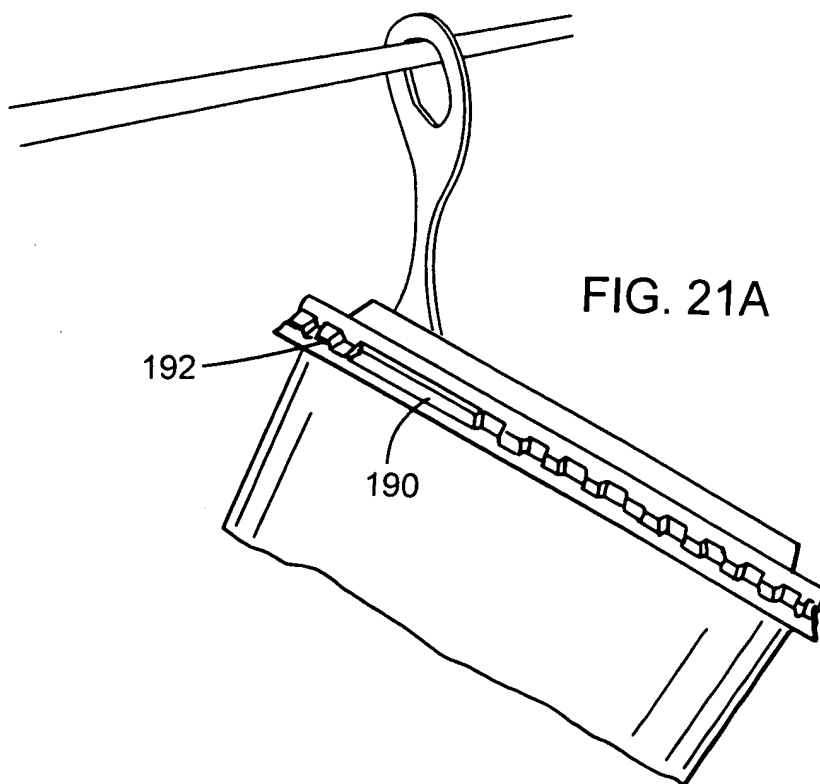
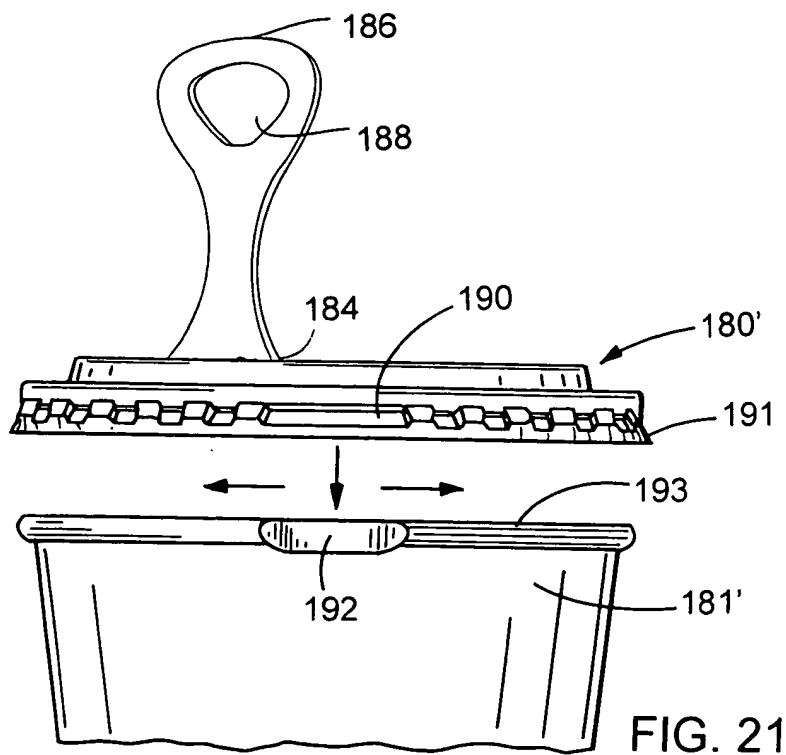
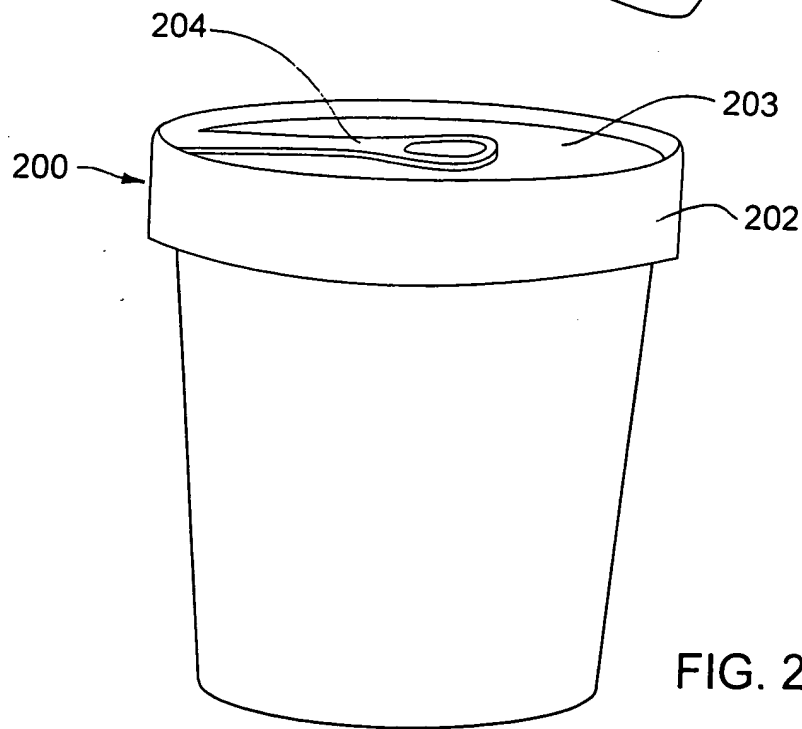
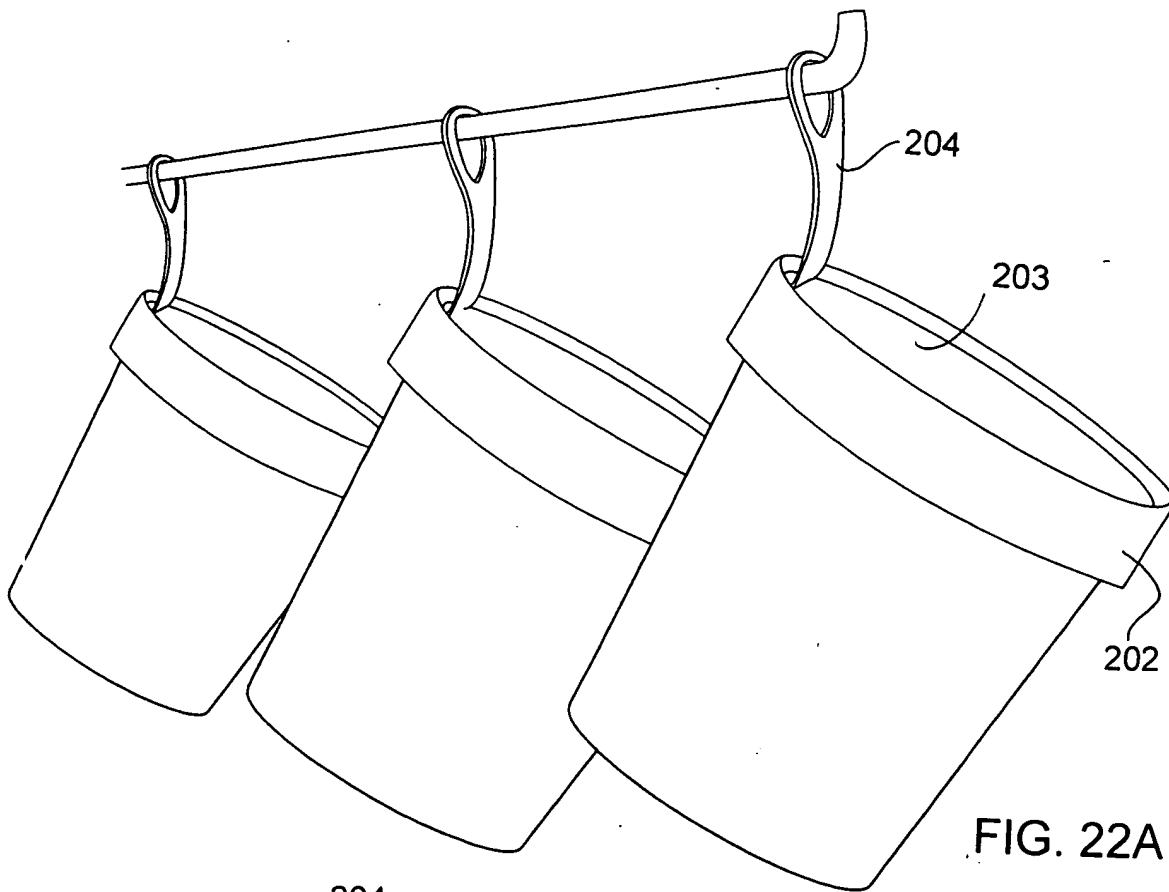


FIG. 20





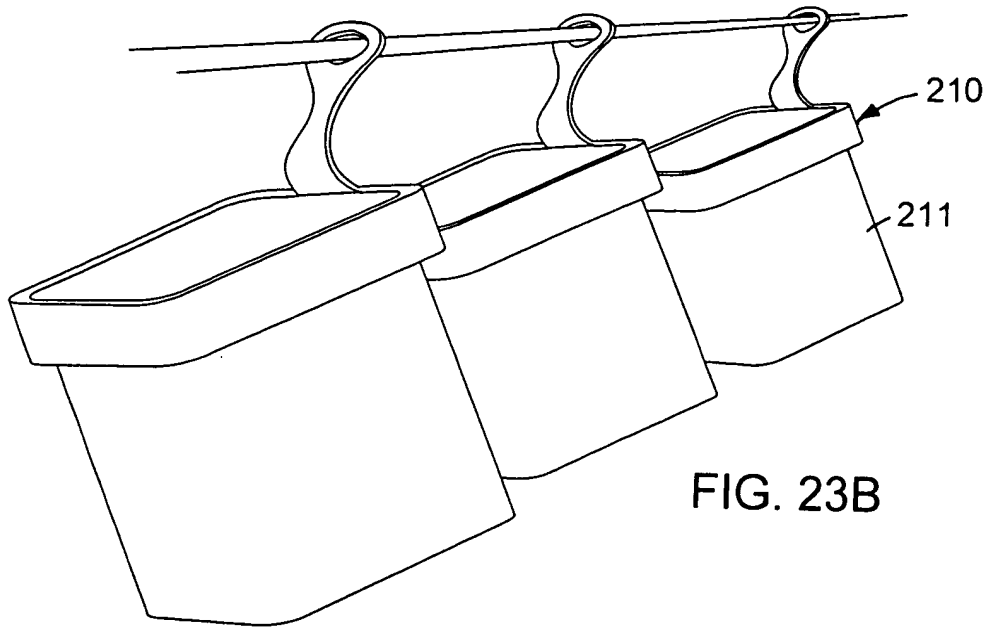


FIG. 23B

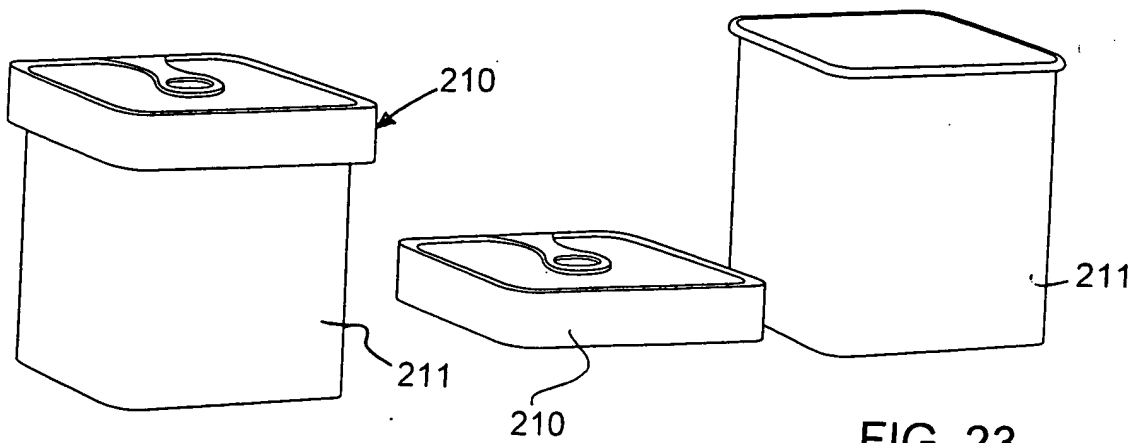


FIG. 23A

FIG. 23

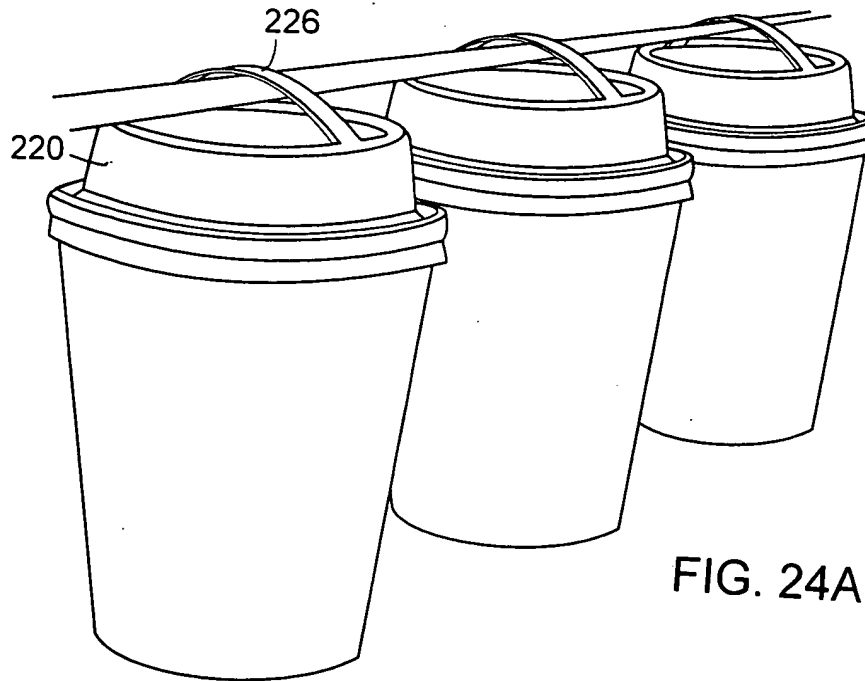


FIG. 24A

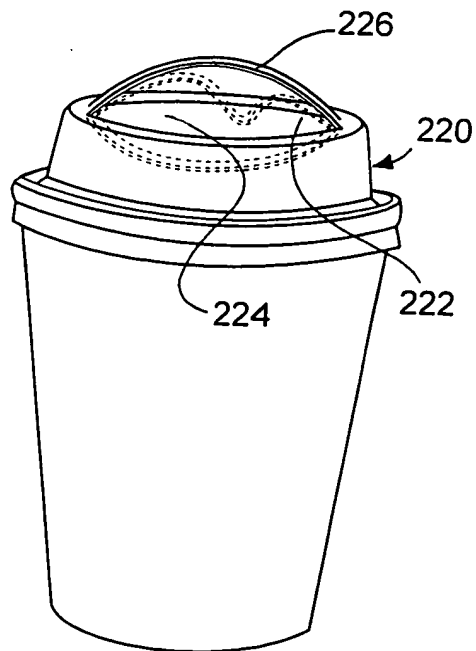


FIG. 24

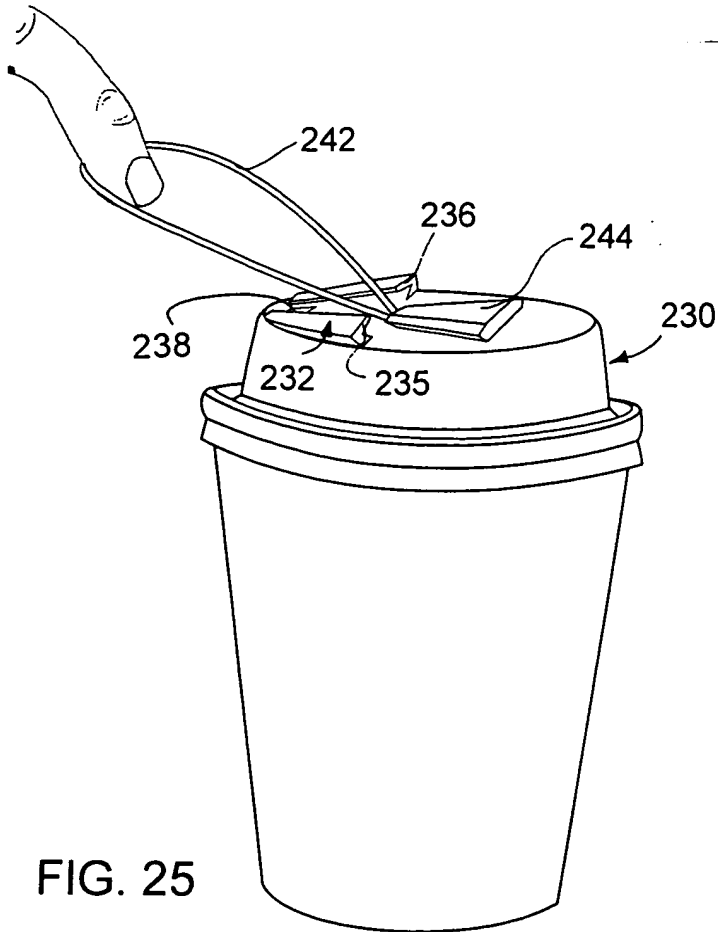


FIG. 25

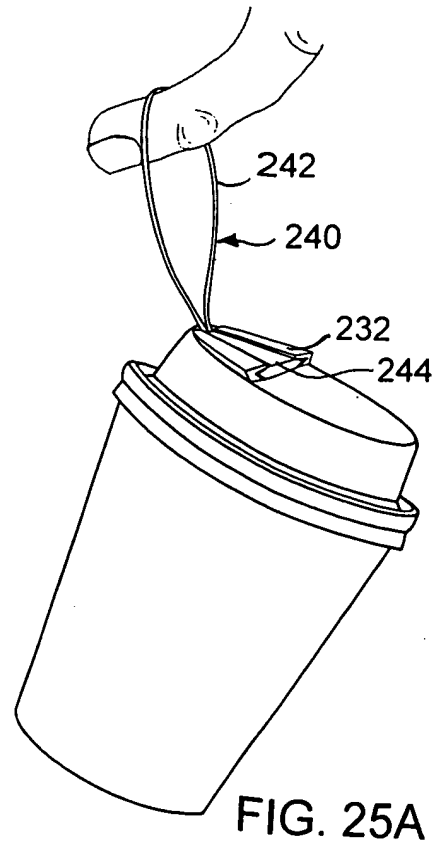


FIG. 25A

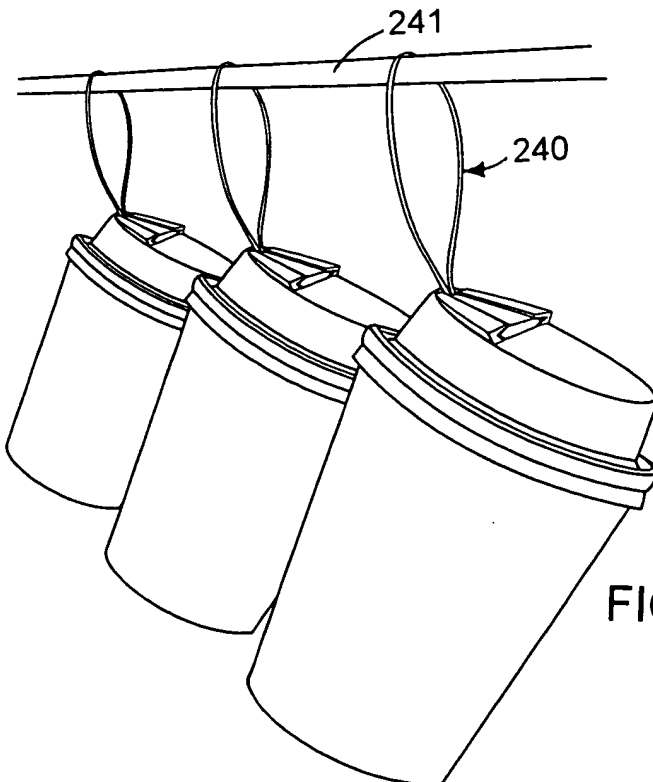


FIG. 25B

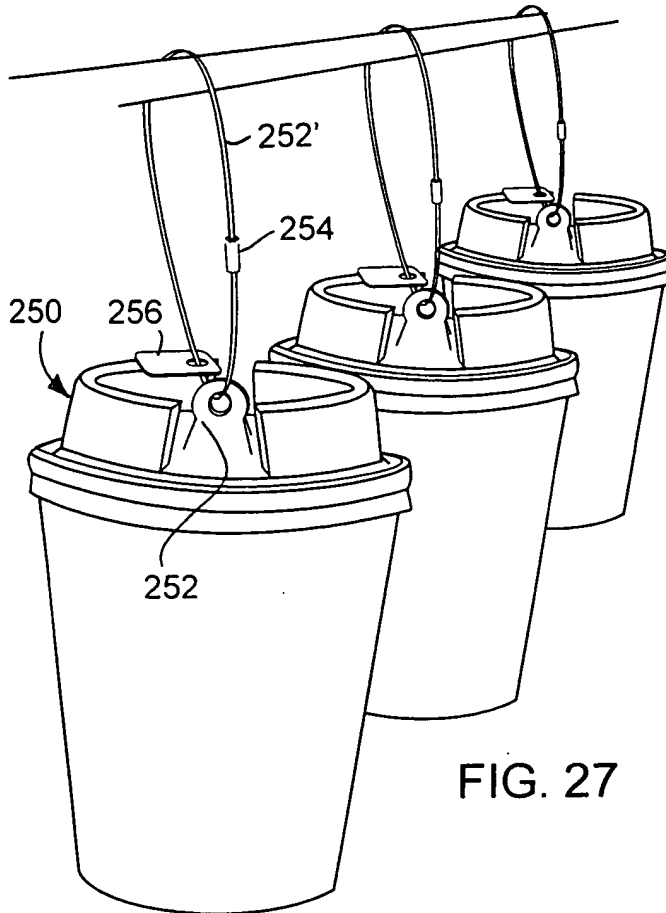


FIG. 27

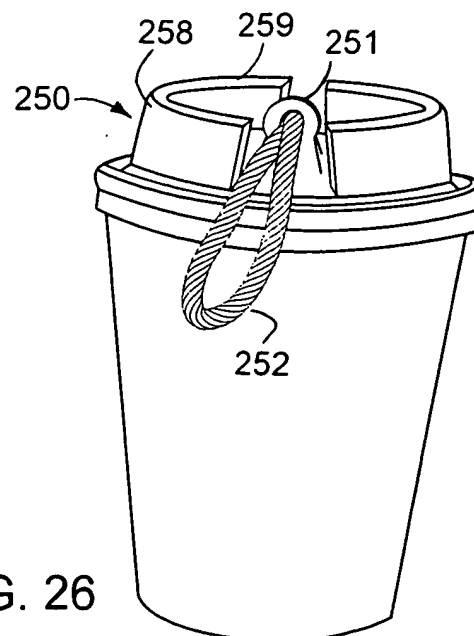


FIG. 26

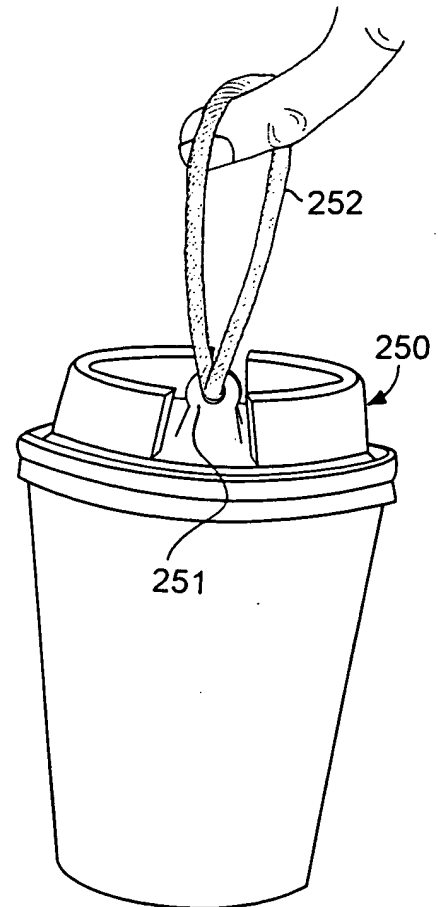


FIG. 26A

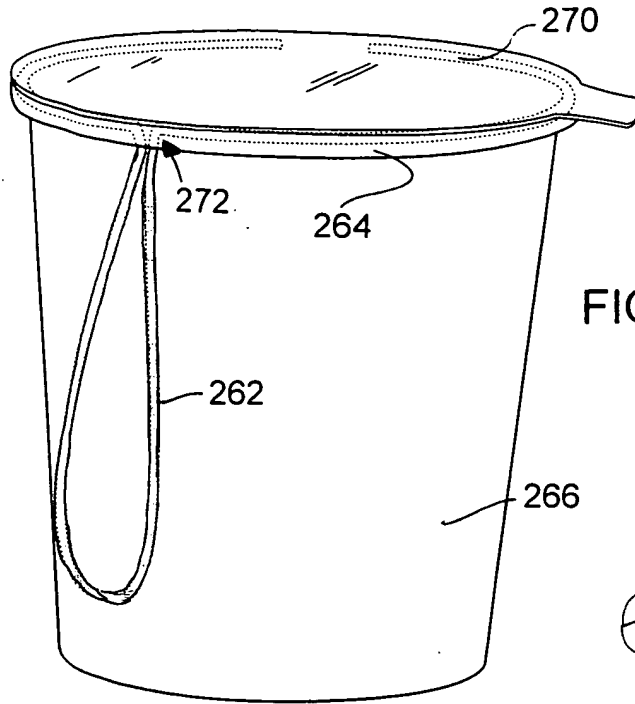


FIG. 28

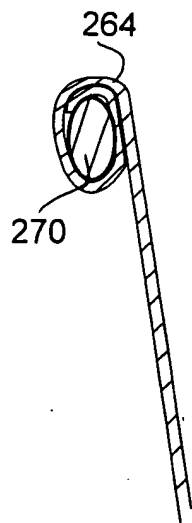


FIG. 28A

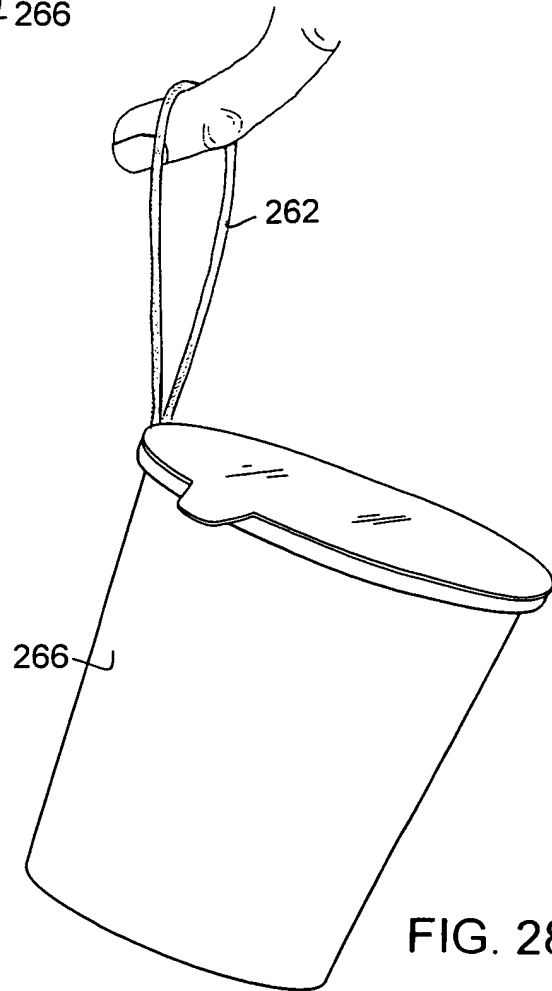


FIG. 28B

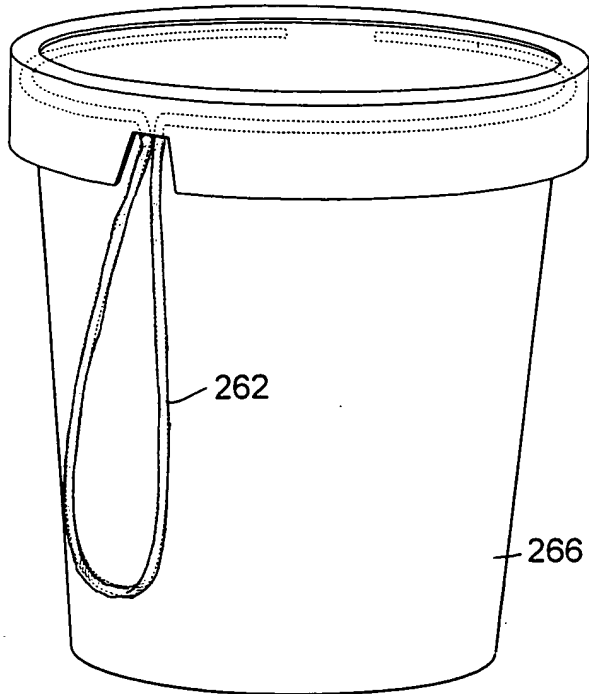


FIG. 29

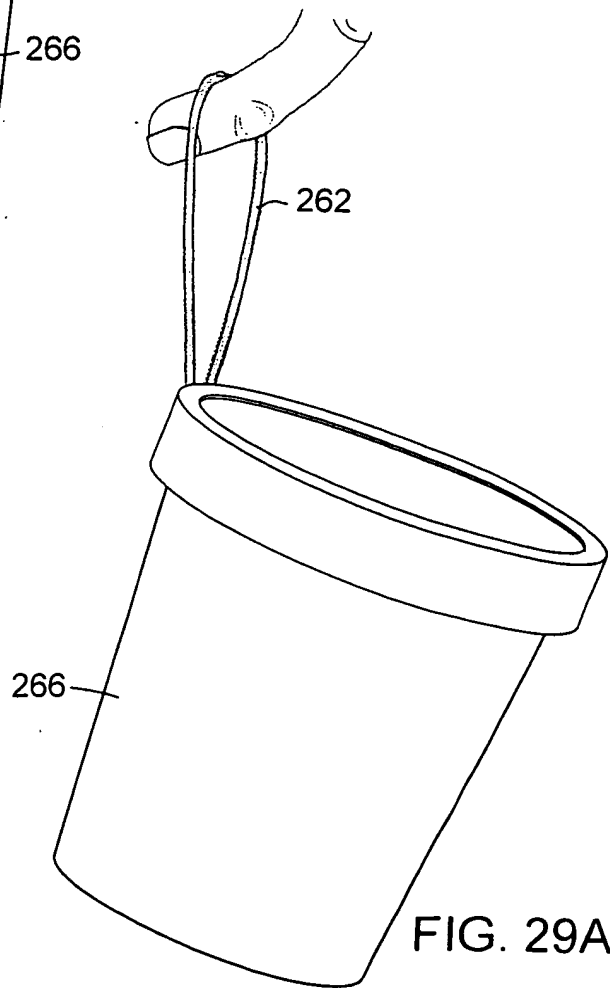


FIG. 29A

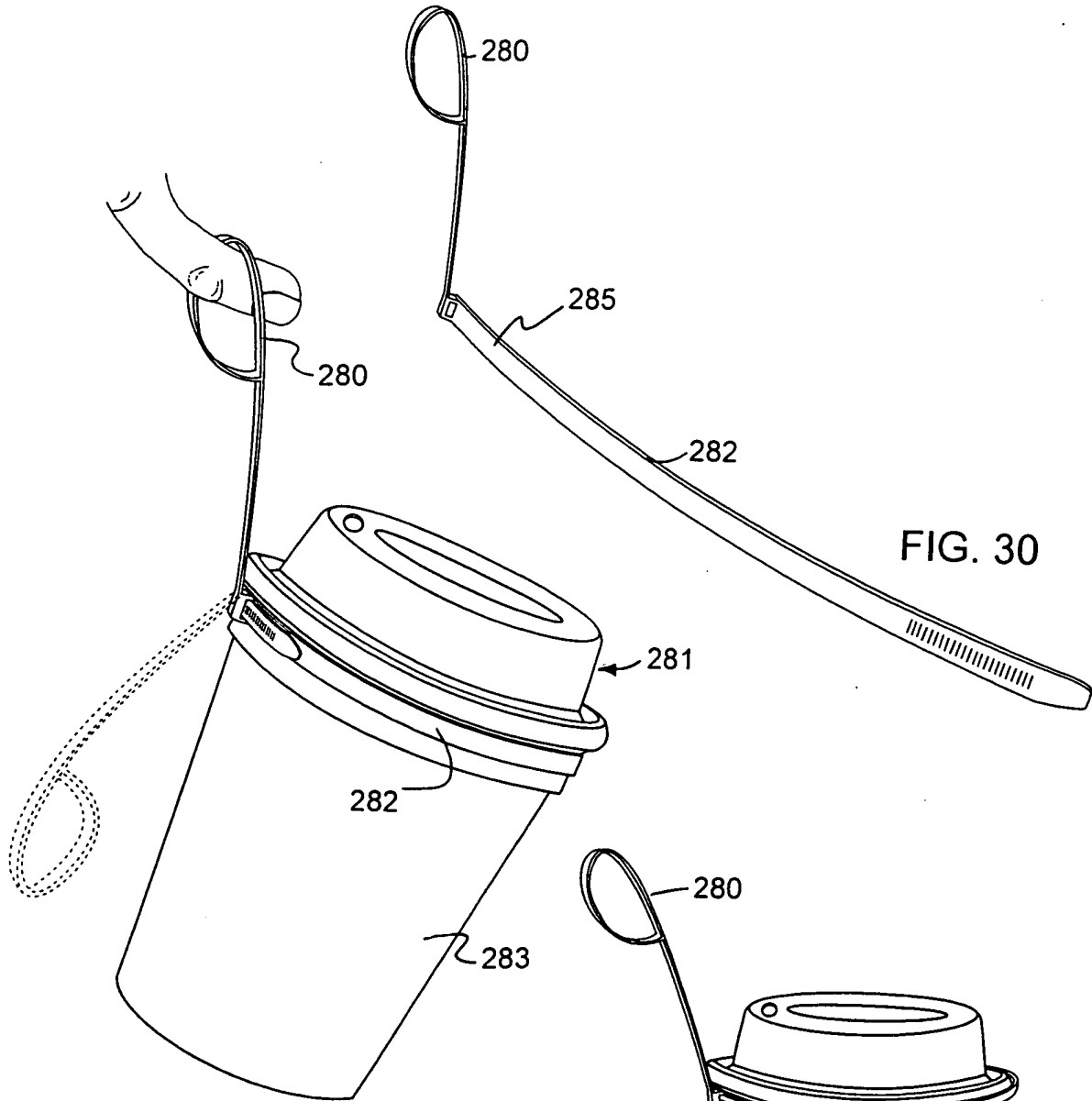


FIG. 30A

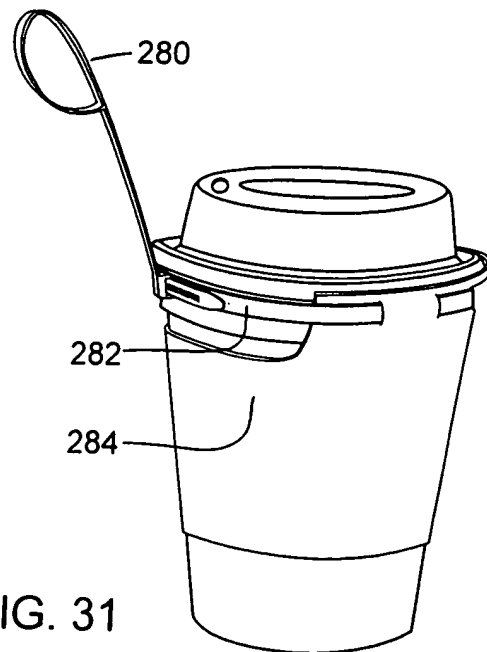


FIG. 31

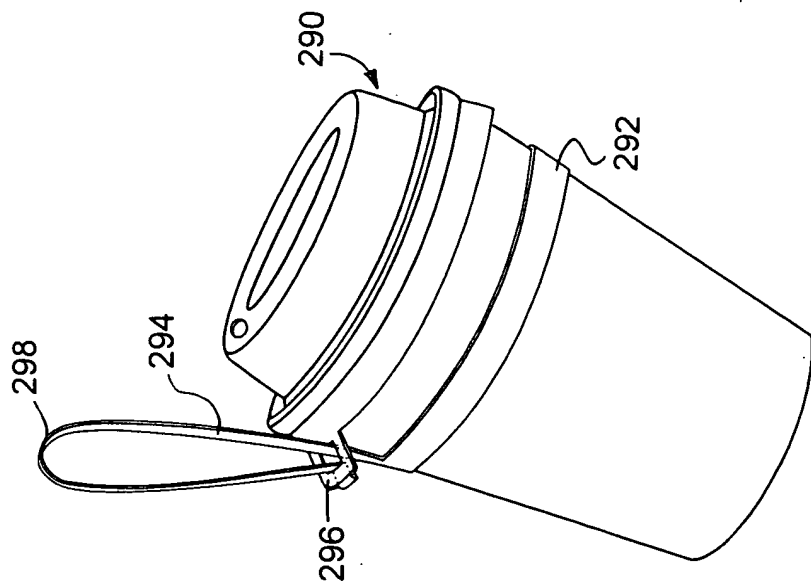


FIG. 32A

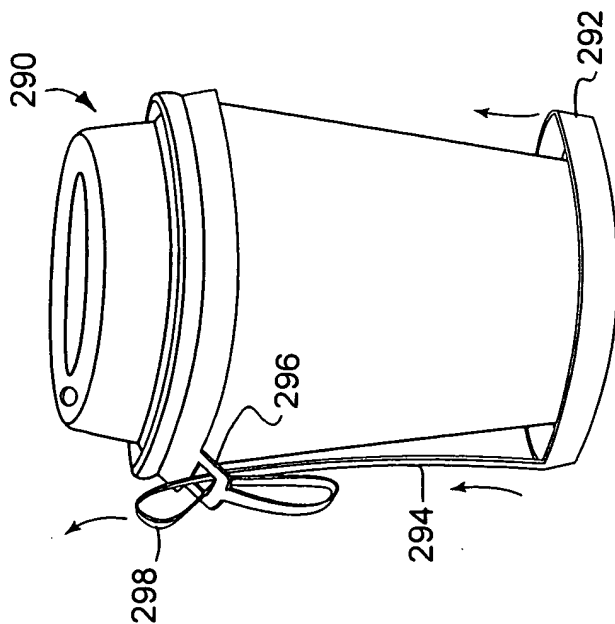
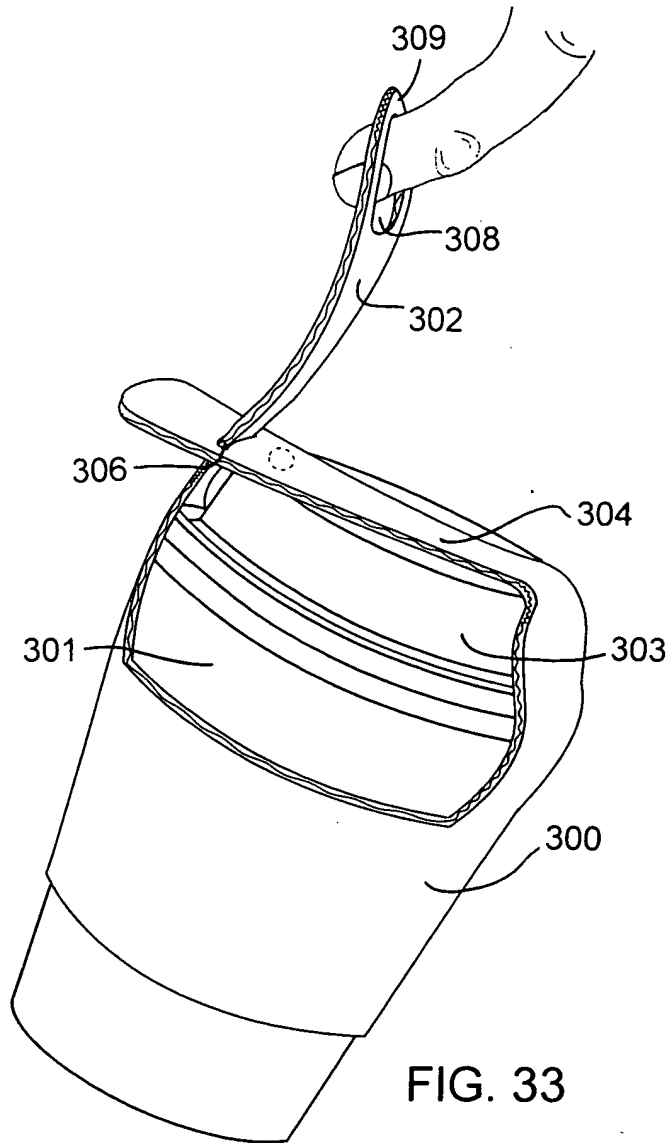
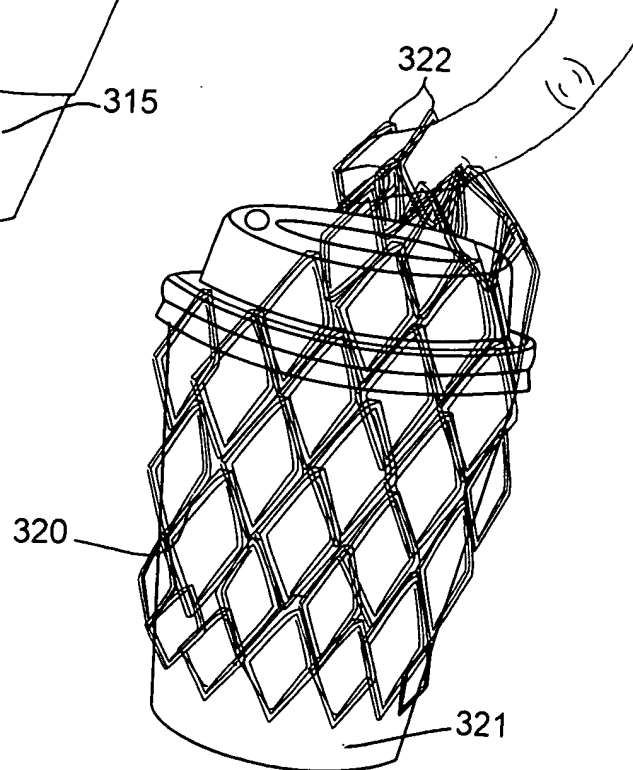
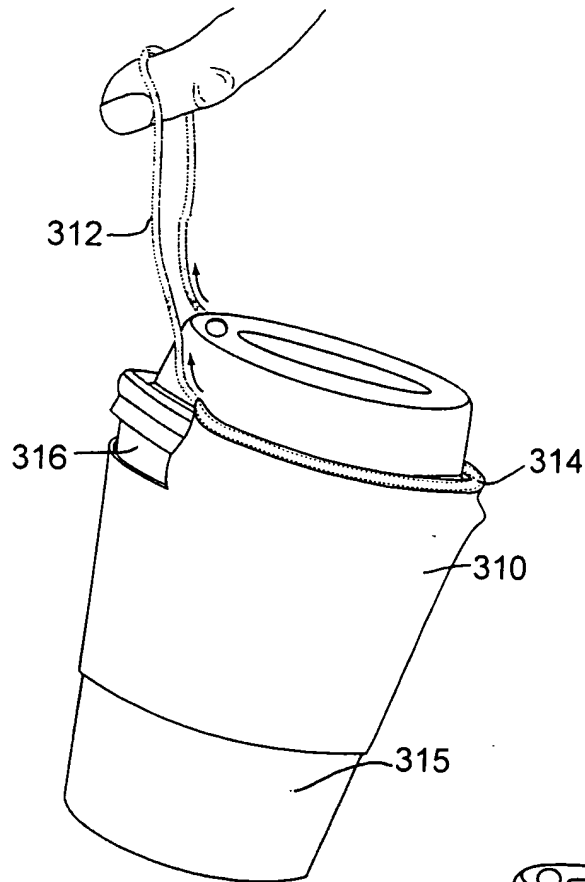


FIG. 32





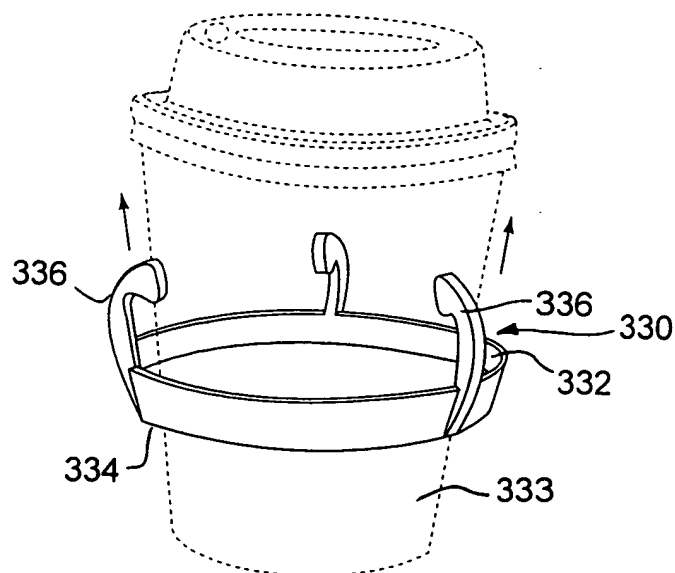
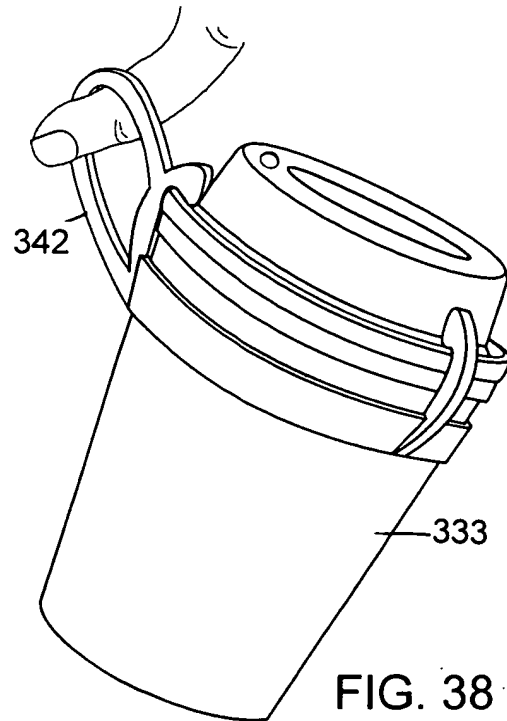
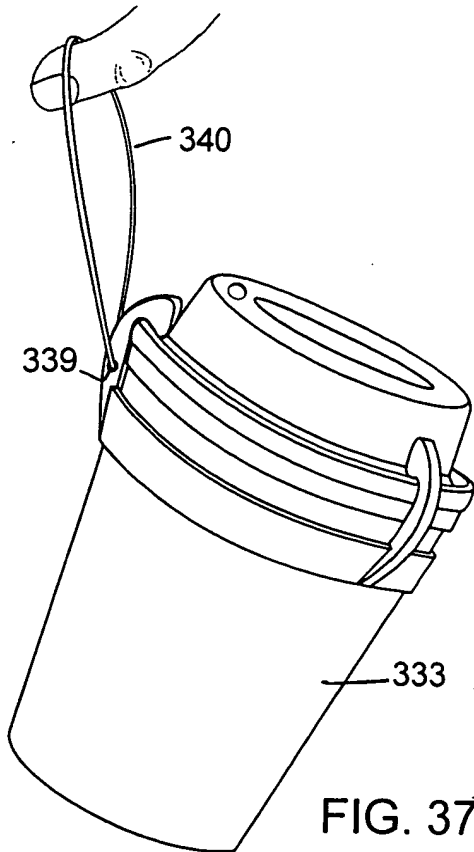
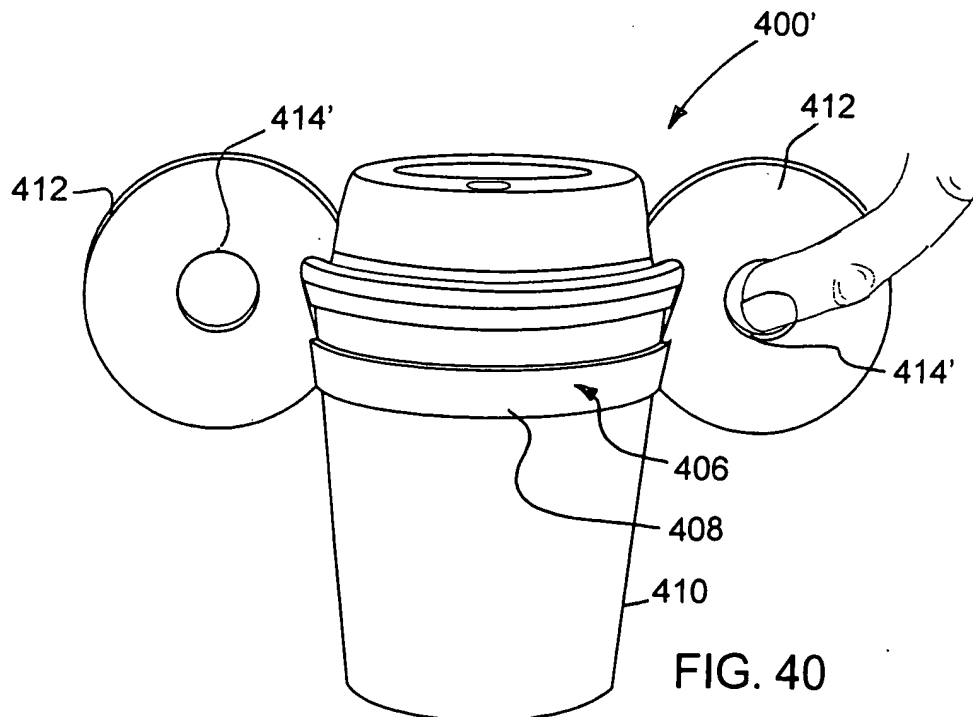
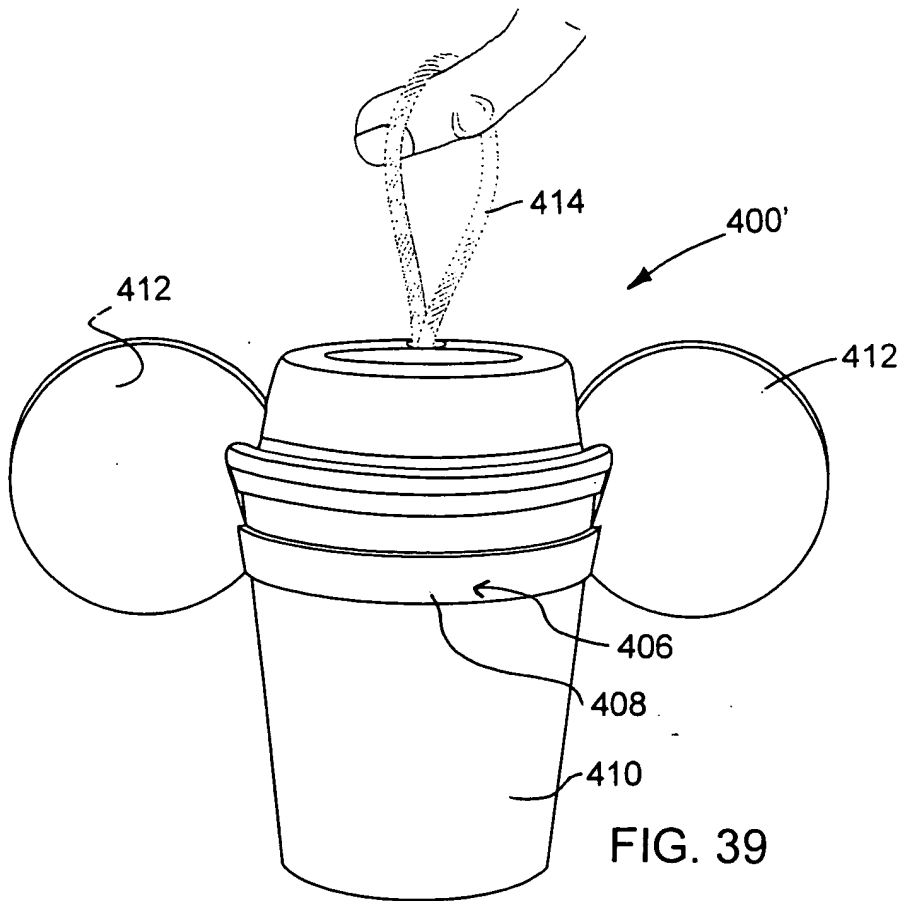
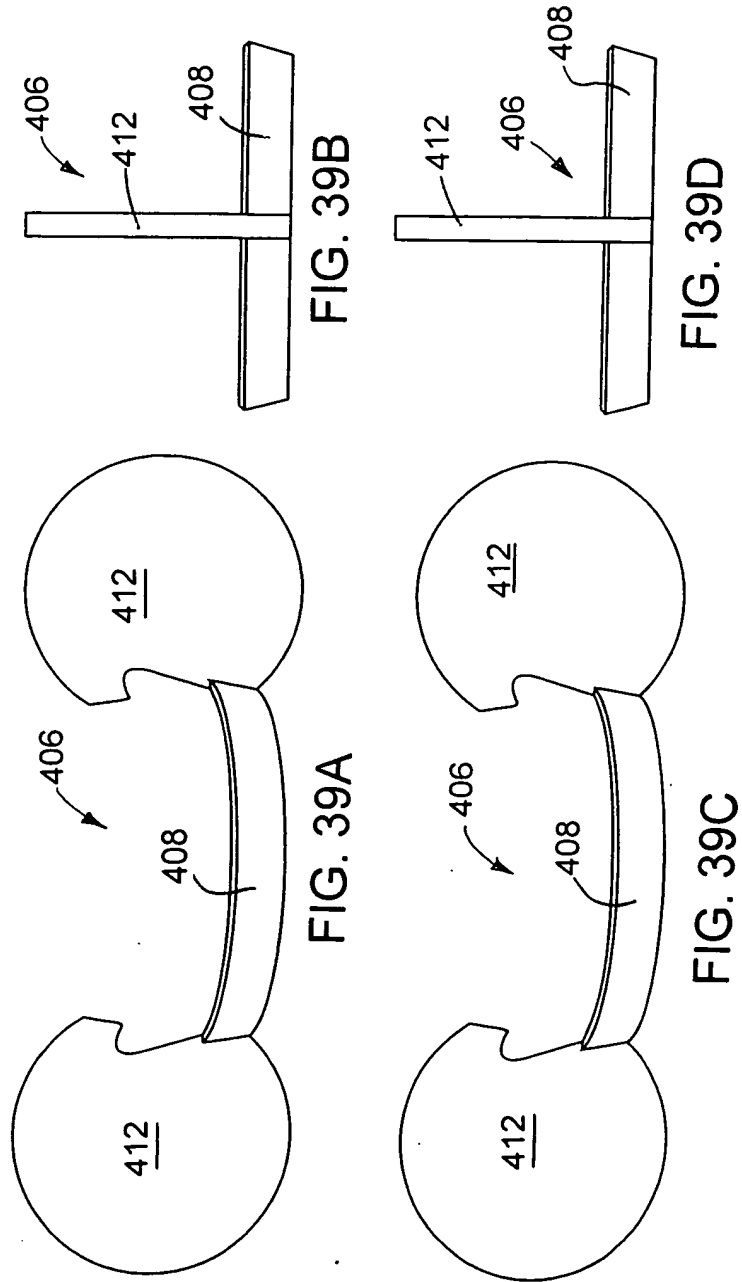


FIG. 36





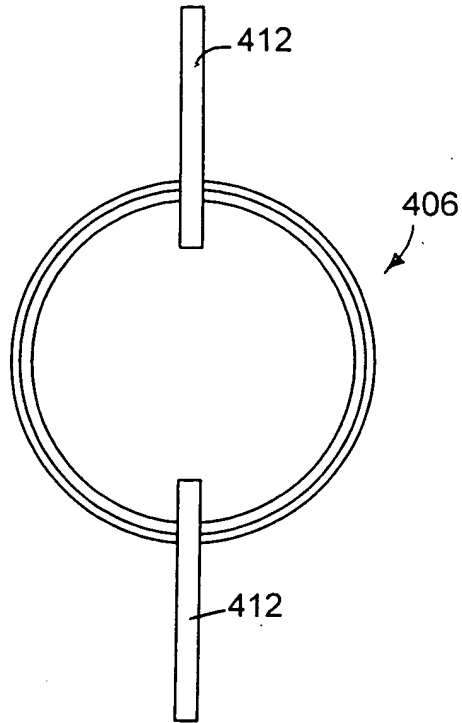


FIG. 39E

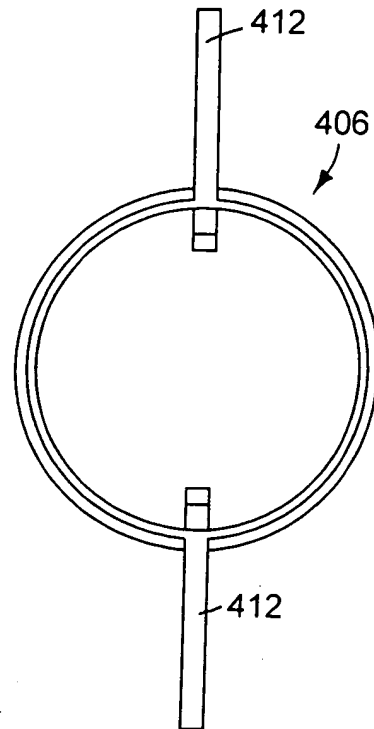


FIG. 39F

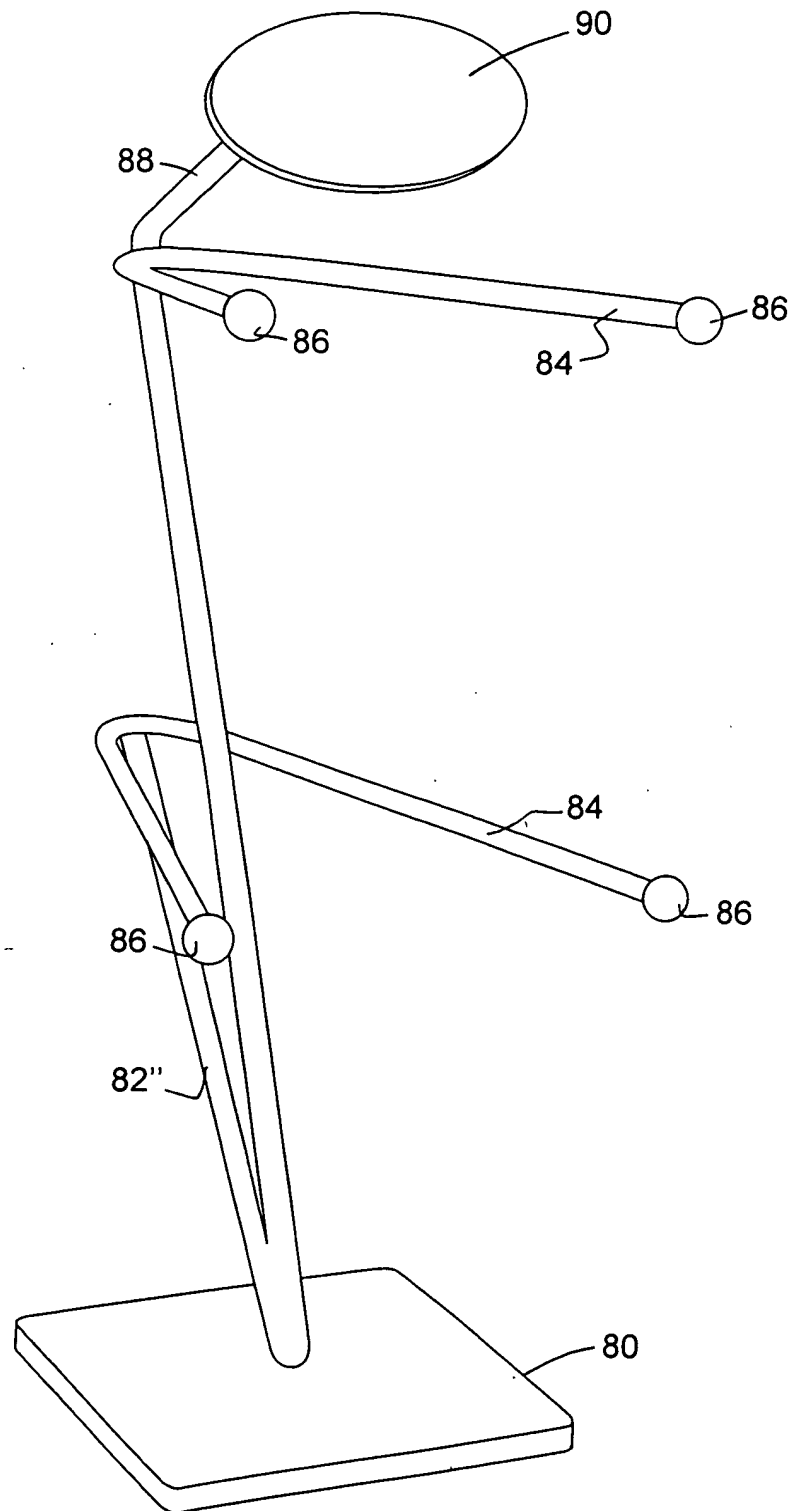


FIG. 41

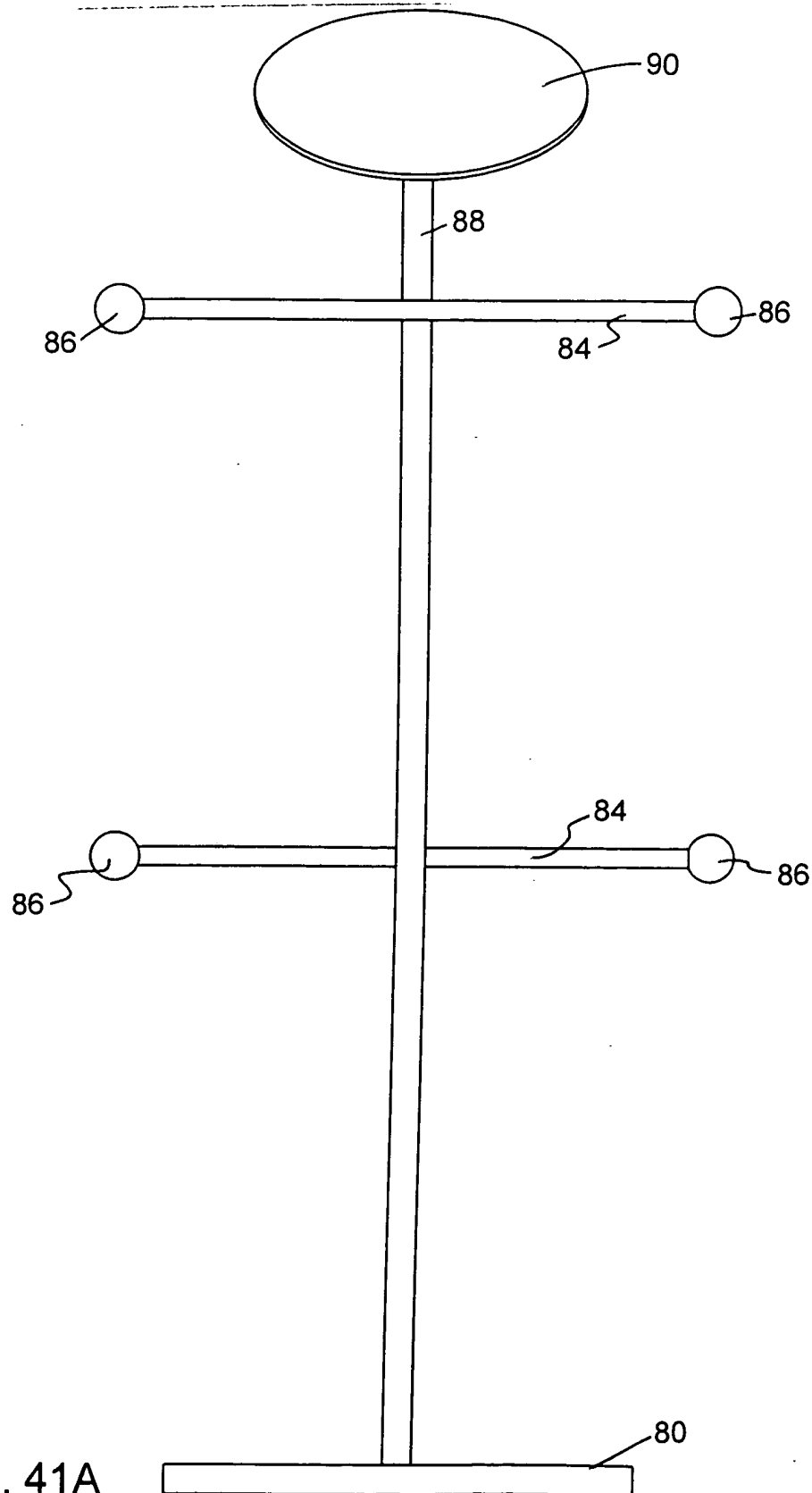
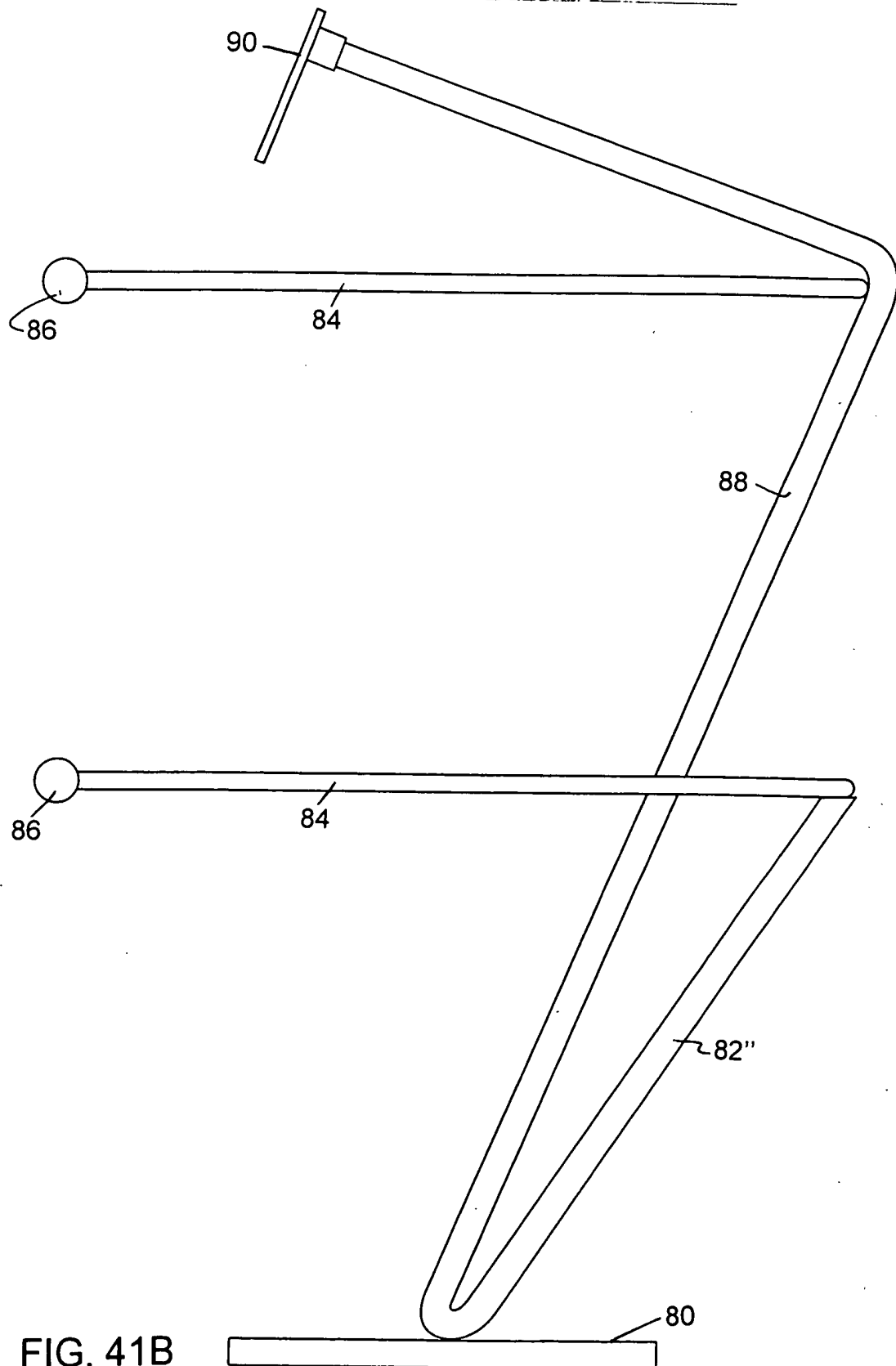


FIG. 41A



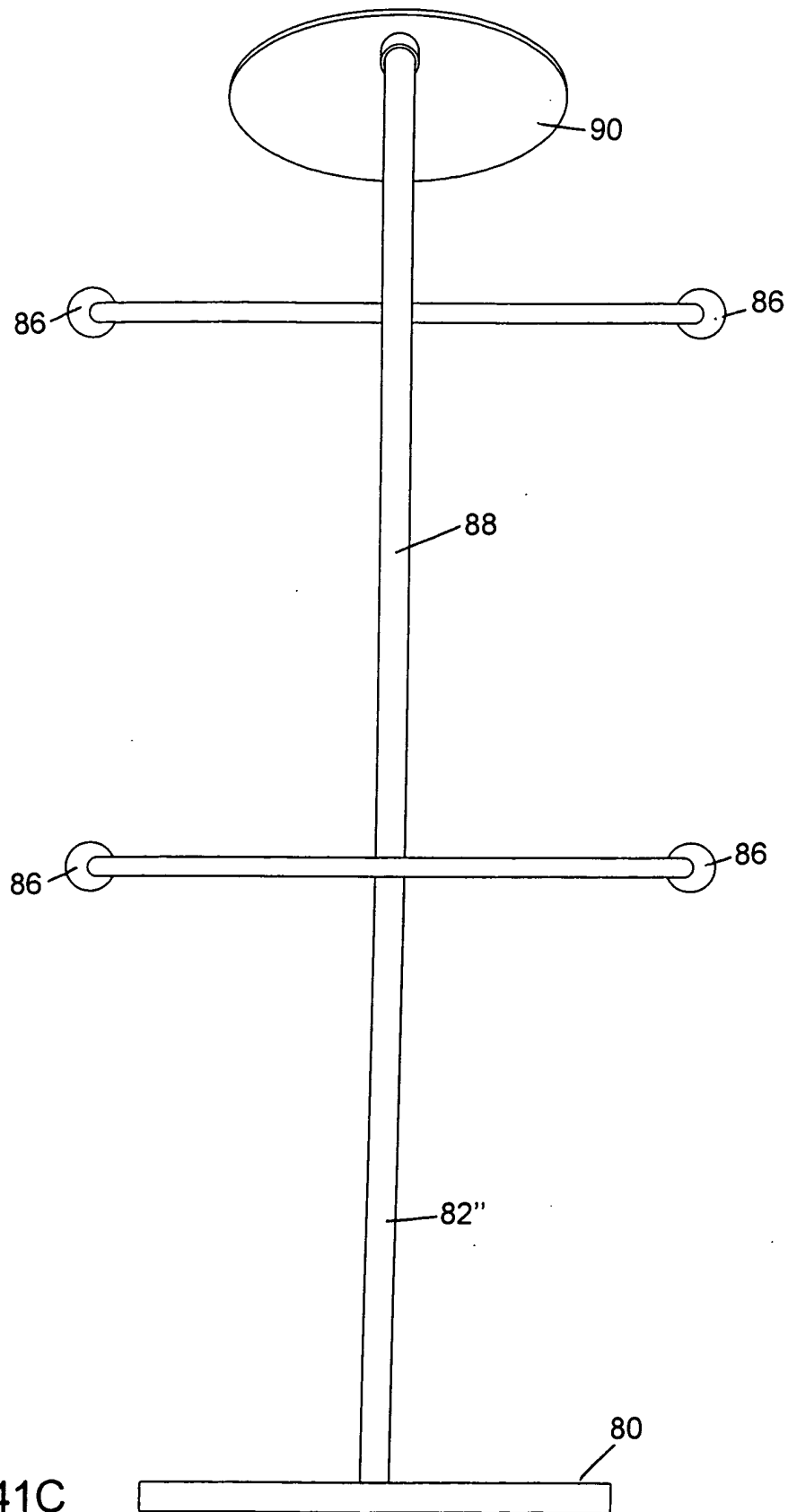
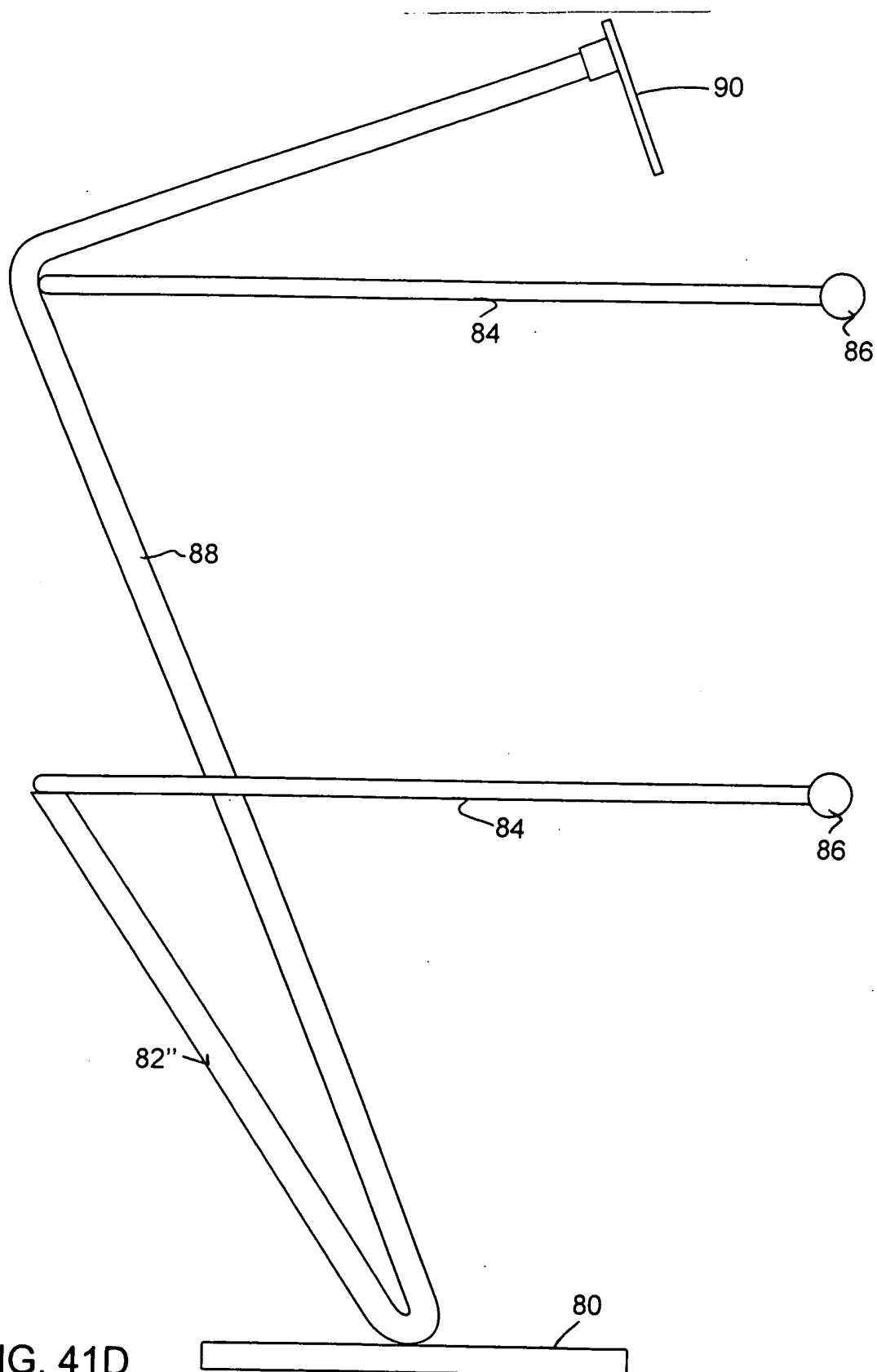


FIG. 41C



Appin No.: 10/052,210

Applicant(s): Jeffrey T. Mannion et al.
SUSPENDED CONTAINERS

Page 39 of 47

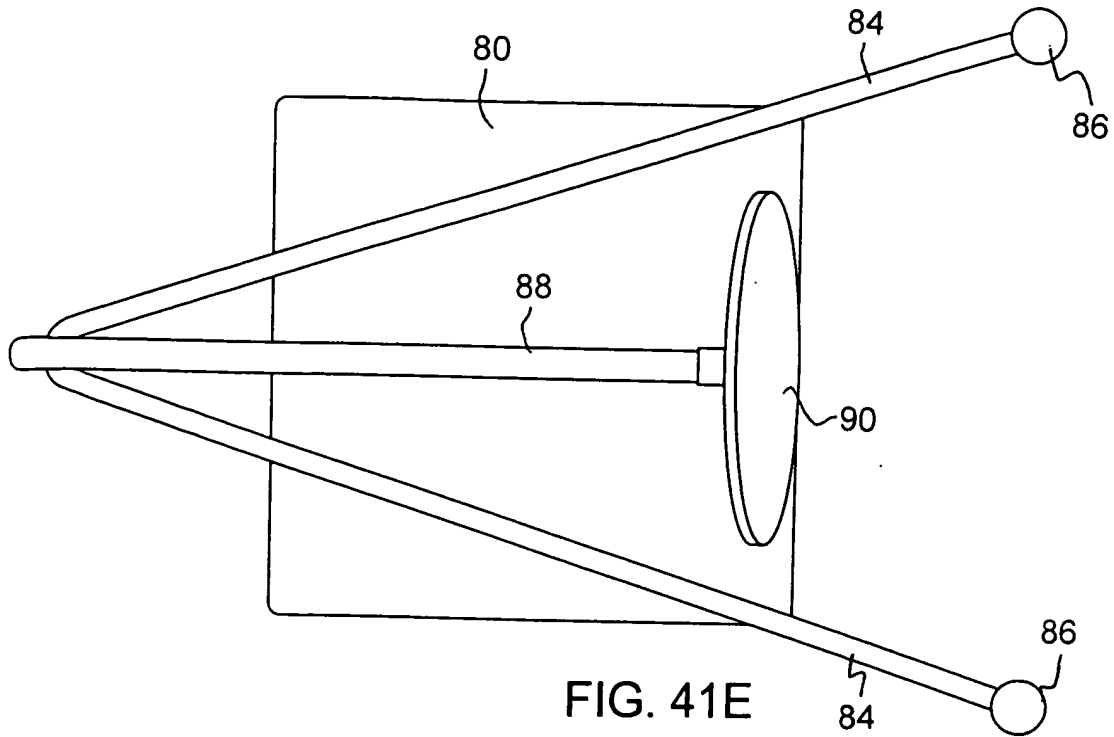


FIG. 41E

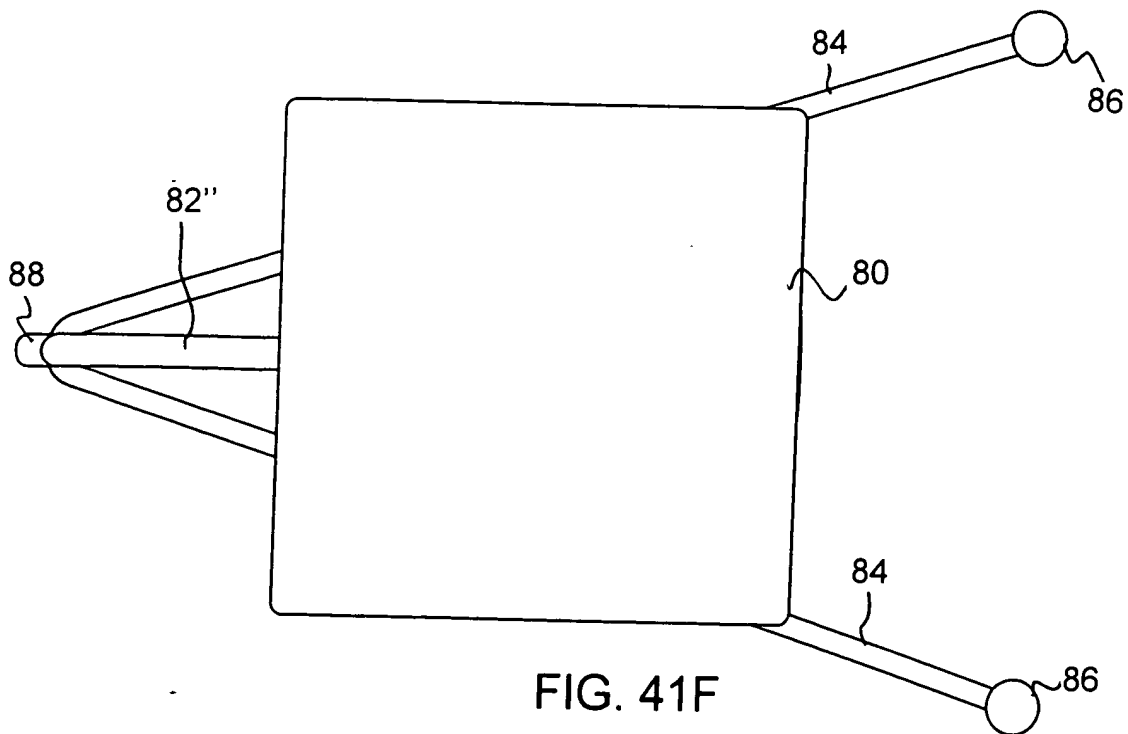
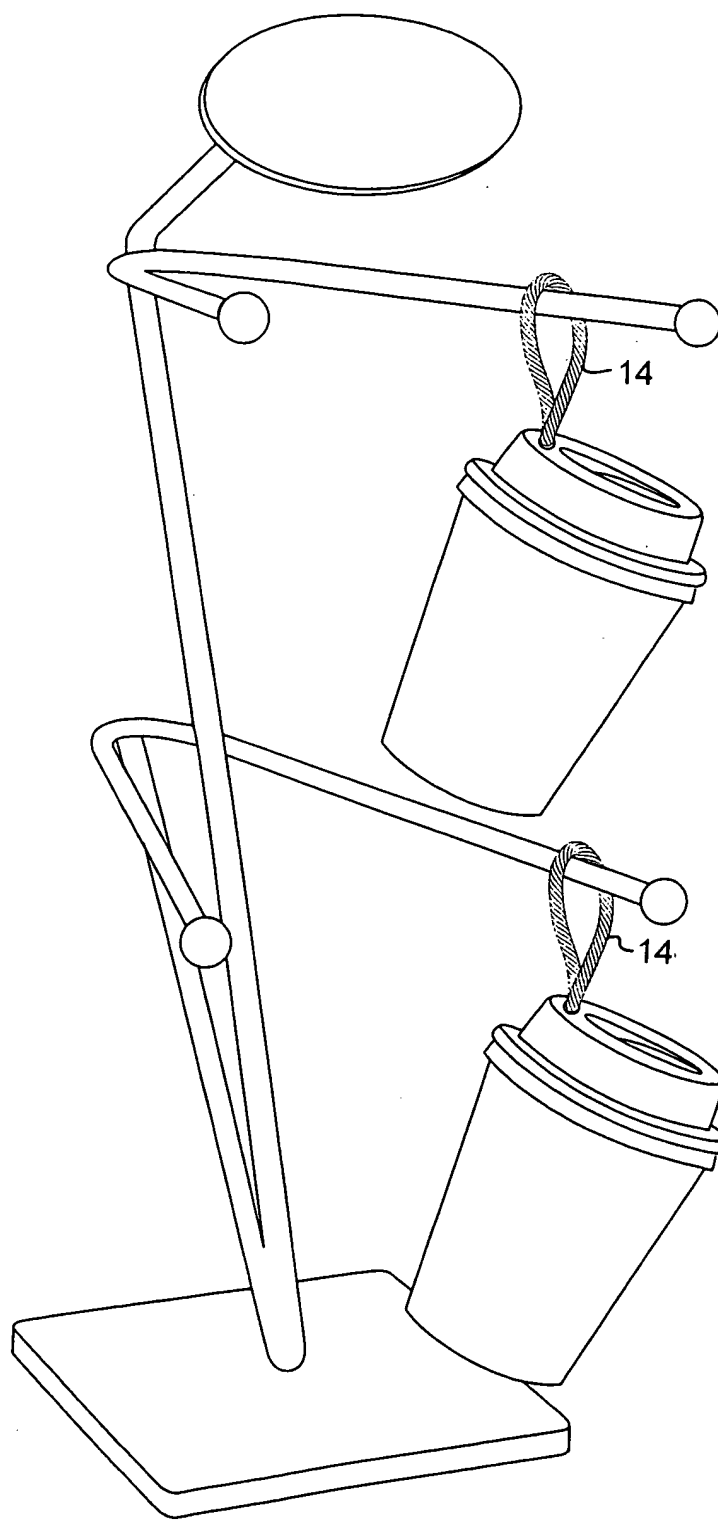


FIG. 41F



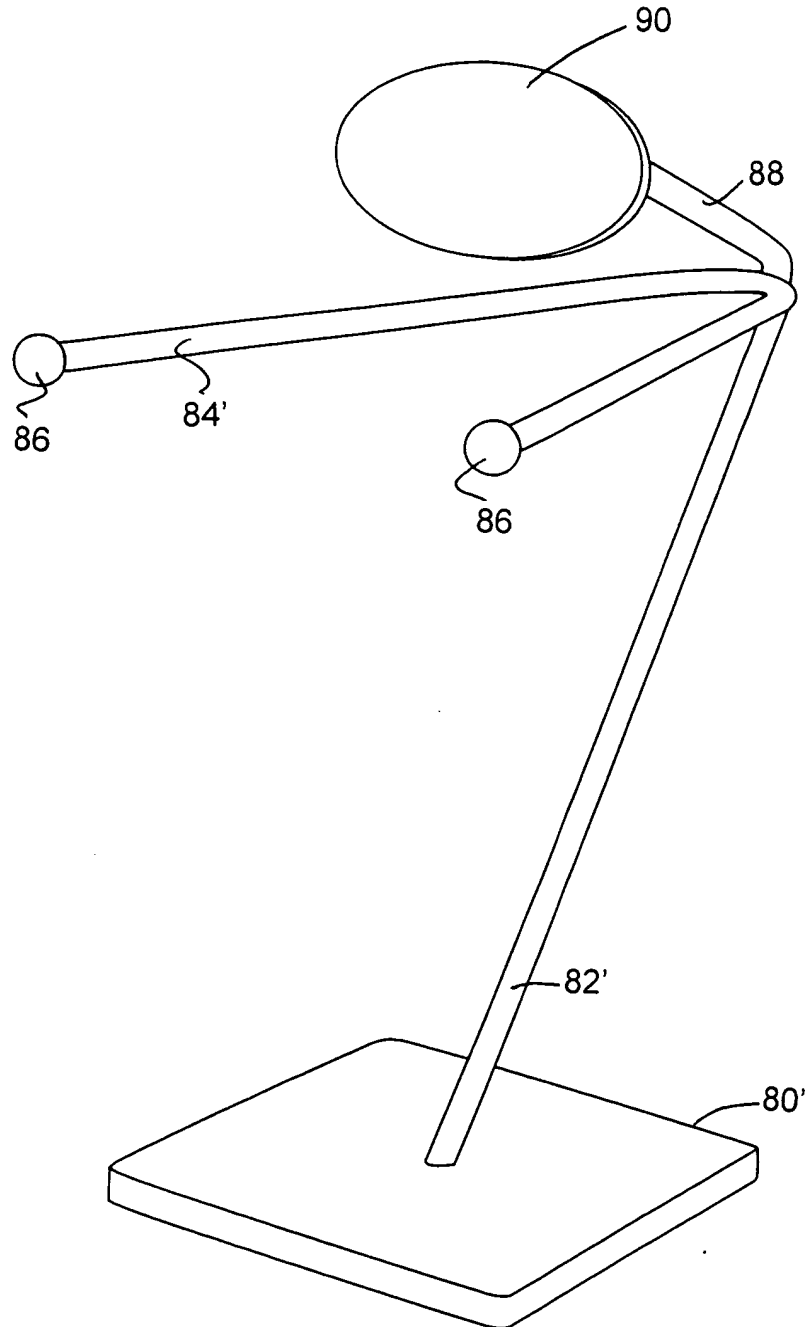


FIG. 43

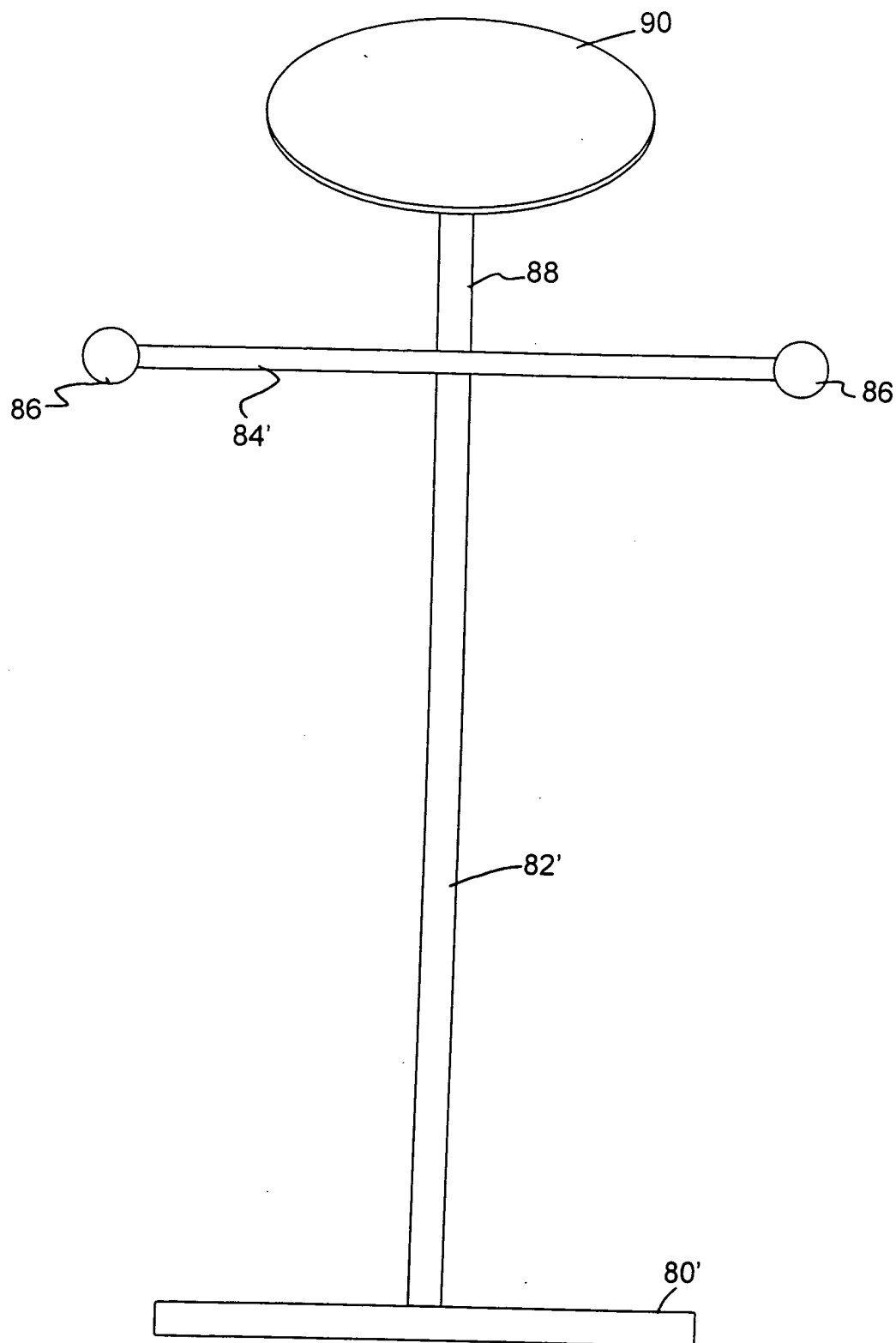


FIG. 43A

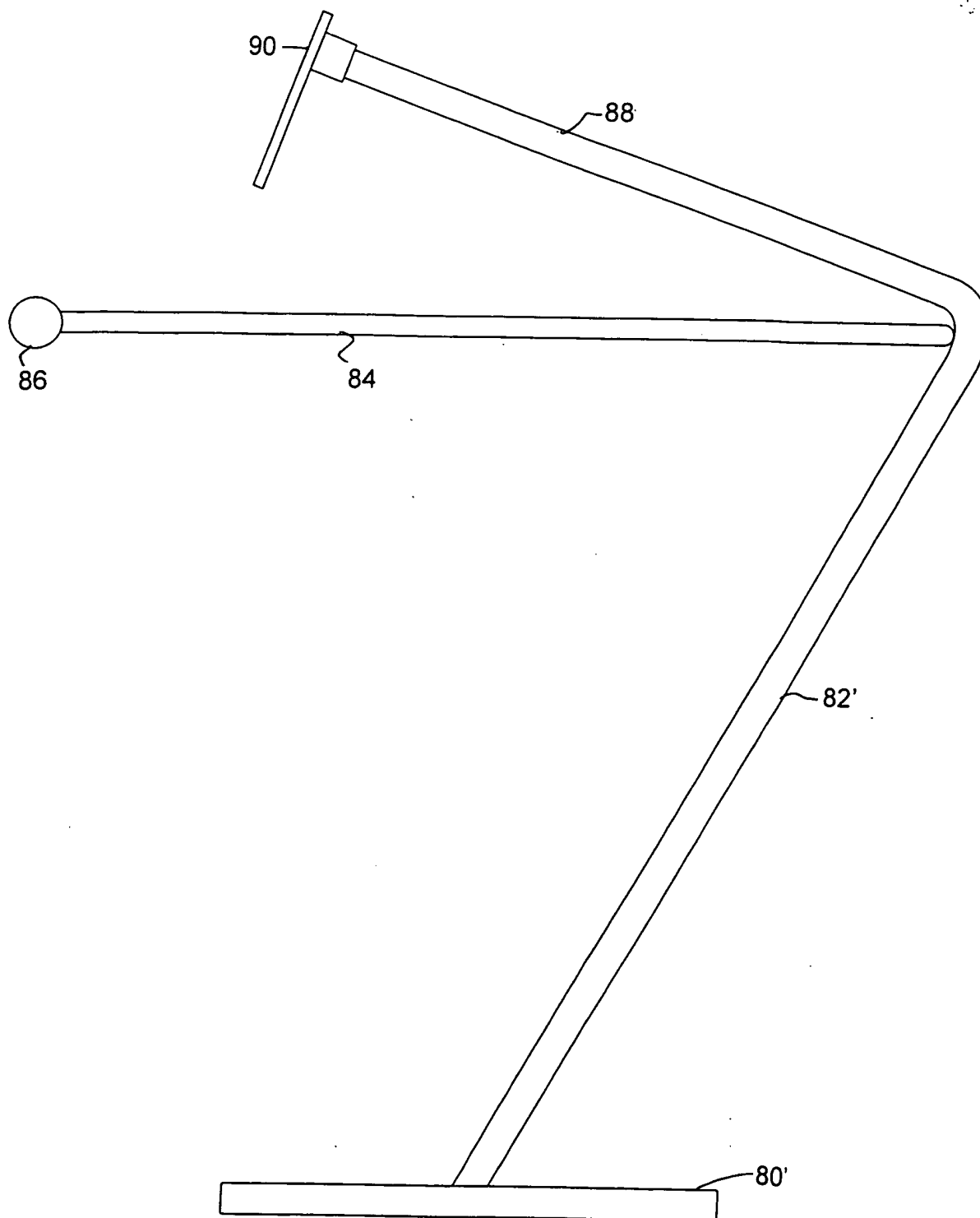


FIG. 43B

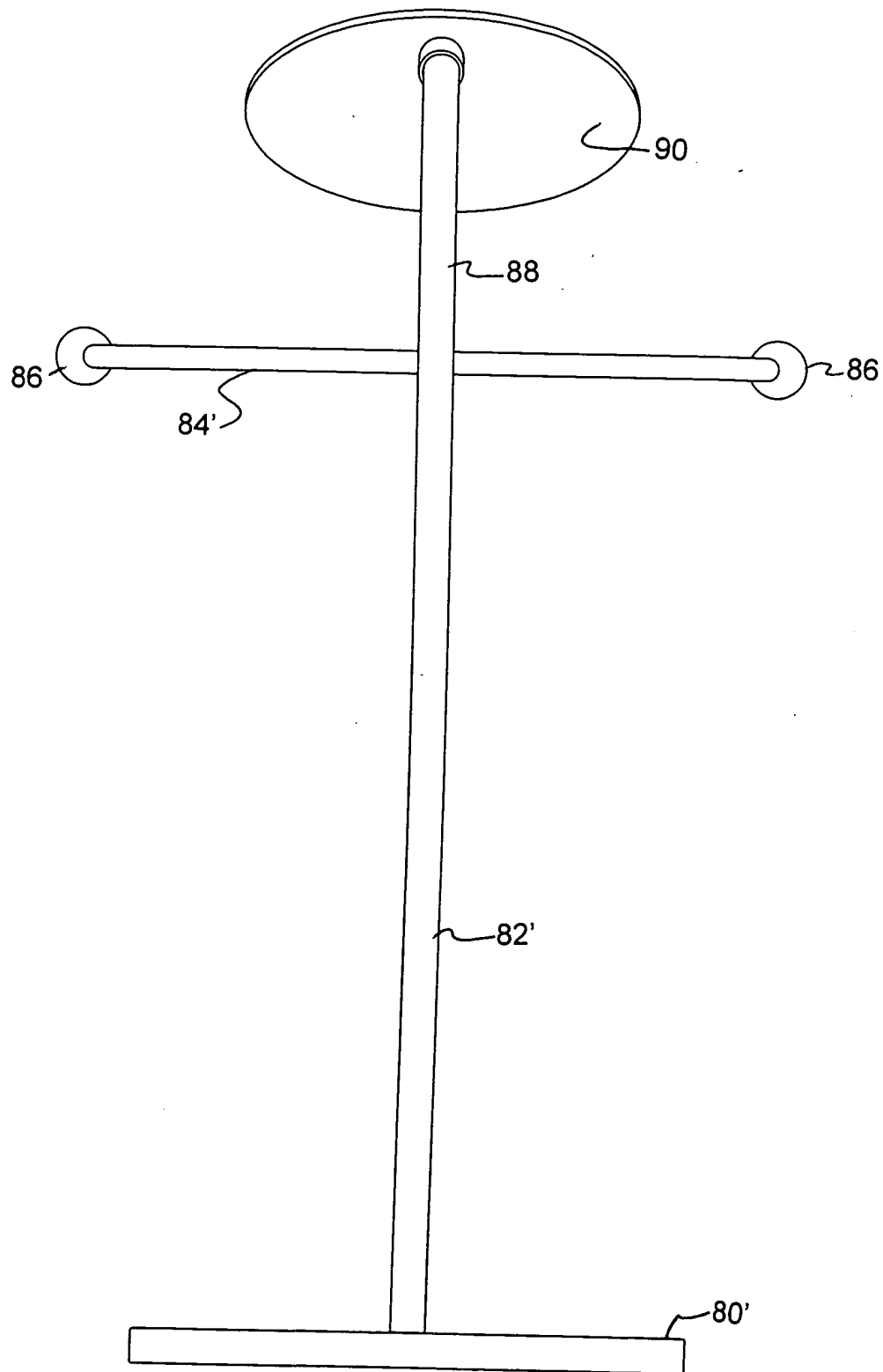


FIG. 43C

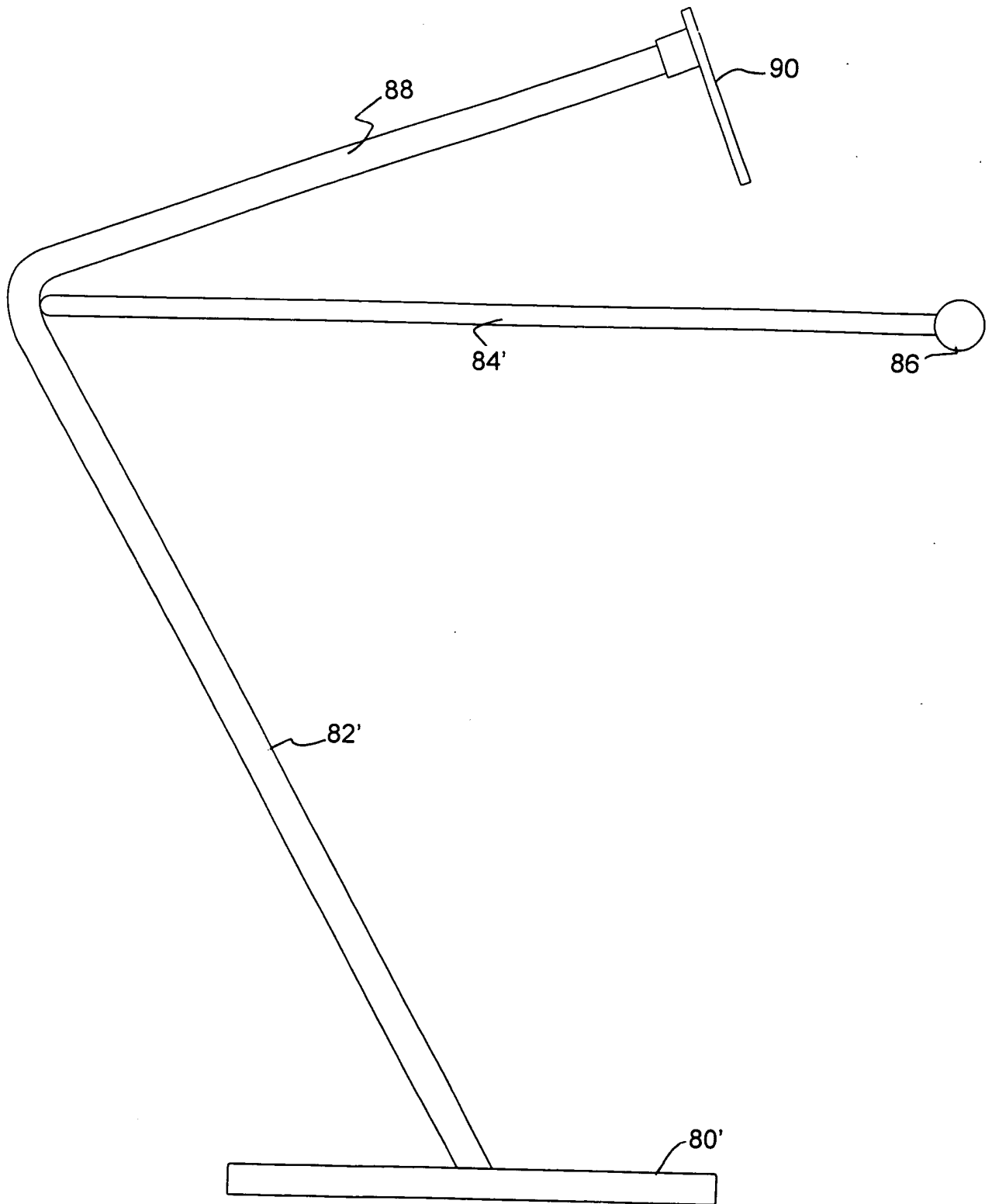
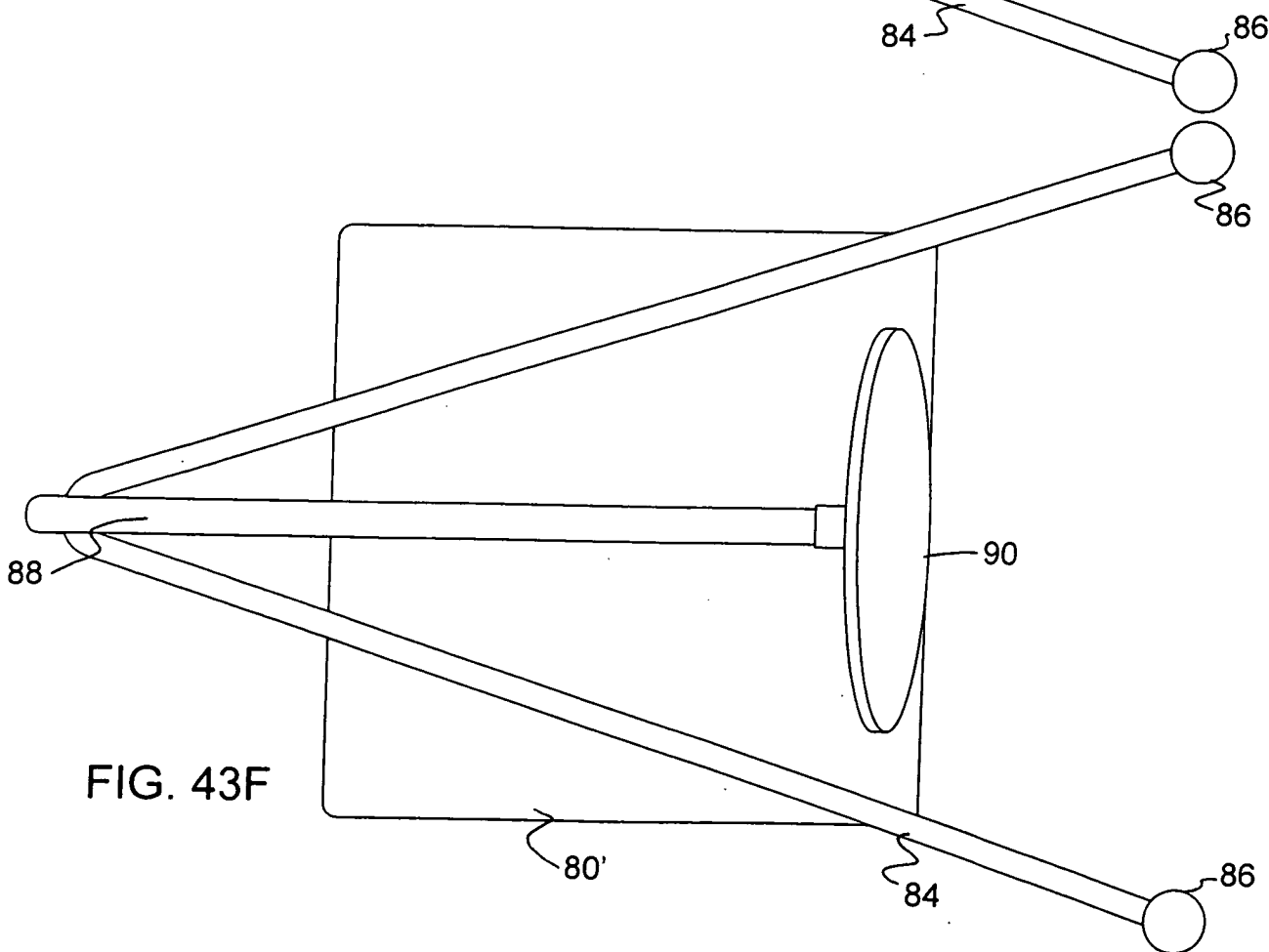
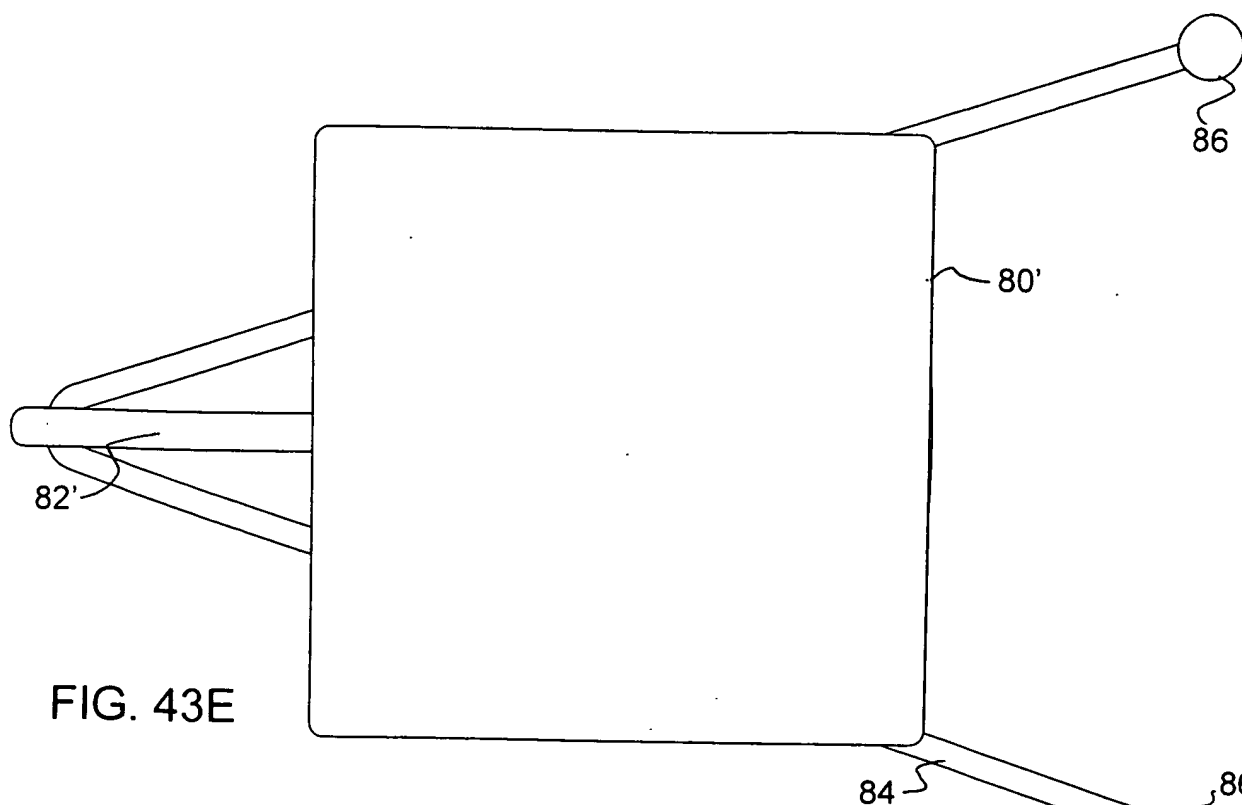


FIG. 43D



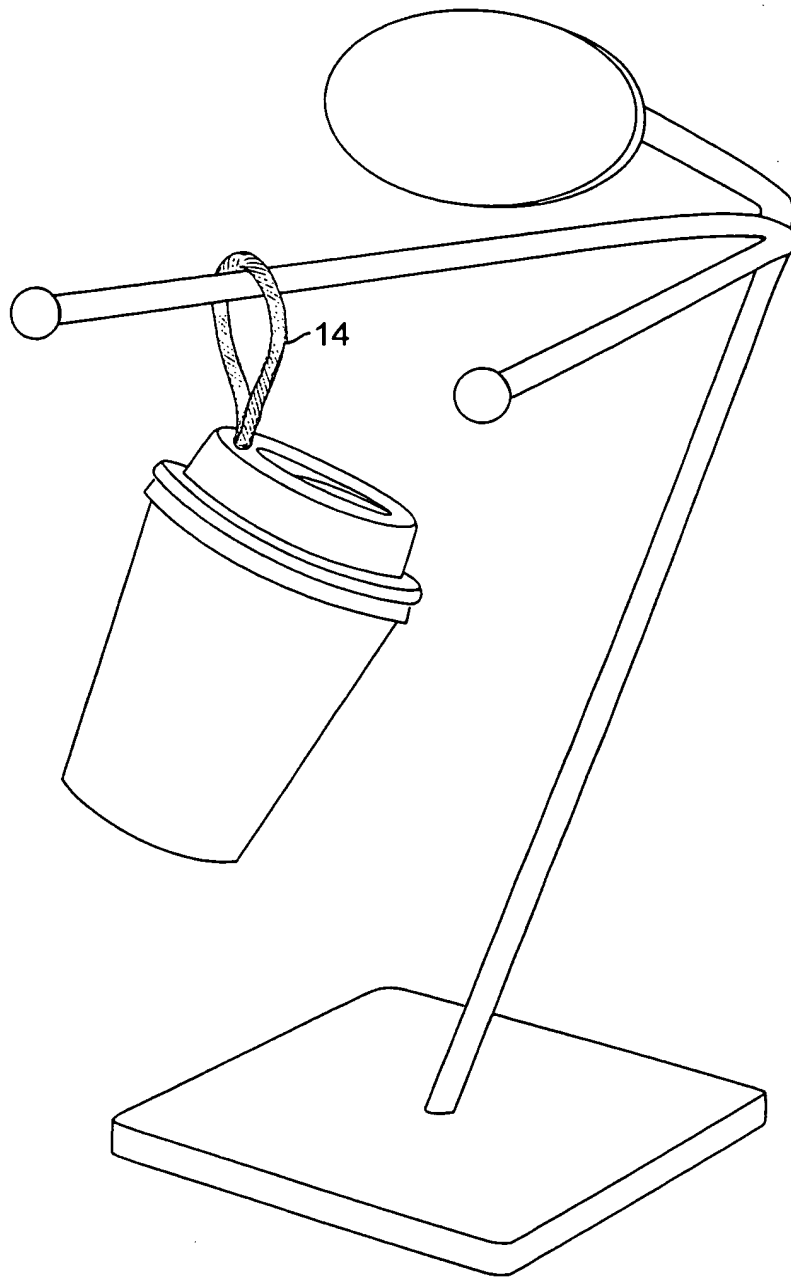


FIG. 44